



INFORME DE DISEÑO PARA LA ESTRUCTURA DE PAVIMENTO EN CONCRETO HIDRAULICO DE CORREDORES VIALES DEL MUNICIPIO DE MAICAO, EN EL DEPARTAMENTO DE LA GUAJIRA

Enero de 2024

157 3007583146

nestorcalvoguzman@yahoo.com

## NÉSTOR CALVO G.

#### 9. CONCLUSIONES Y RECOMENDACIONES 8. MODULACIÓN DE LOSAS. 7. FUENTES DE MATERIALES Y CARACTERIZACIÓN 6. DISEÑO DE LA ESTRUCTURA DE PAVIMENTO 5. CARACTERIZACIÓN GEOTECNICA 4. ANÁLISIS Y PROYECCIÓN DEL TRANSITO. 3. GEOLOGIA Y ASPECTOS CLIMATOLOGICOS DE LA REGIÓN 2. LOCALIZACIÓN Y DESCRIPCION DEL PROYECTO INTRODUCCIÓN. BIBLIOGRAFÍA LIMITACIONES. 6.3 Metodología de Elementos Finitos .. 6.1.4 Factor de seguridad de carga y repeticiones 6.1.3 Transferencia de Carga 6.1.1 Módulo de Reacción del apoyo de la losa (k). 6.1 Metodología de la PCA. 1. OBJETIVOS DEL INFORME. 6.2 Metodología del Instituto Nacional de Vías 6.1.2 Tránsito. Contenido .72 .71 . 68 36



#### INTRODUCCIÓN

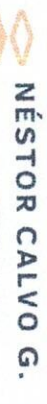
de influencia de las carrera 1ª entre calles 23 y 24; carrera 1B entres calles 22 y 24; pavimentadas, sino todas las formas que los habitantes, en especial los de la zona sentido más amplio, y no solo como el tránsito de vehículos por arterias Un Plan de Desarrollo Municipal tiene entre unos de sus abjetivos la movilidad en su Maicao, utilizan para desplazarse por el espacio público. entre carreras 26 y 31; calle 23 entre carreras 1A y carrera 1B, del municipio de carrera 1B entre calles 16 y 20; carrera 1C entre calle 14 y 16; carrera 2 entre calle 13 y 16; carrera 31 entre calle 22 y 24; calle 14 entre carrera 1C y carrera 2; calle 23

aproximada de 2095 metros lineales va a mejorar el transporte urbano de pasajeros El proyecto de pavimentación de estos corredores urbanos en una longitud total destapada de esas calles y carreras del referido sector. mermado por el estado y calidad actual de la superficie de rodadura en terreno residentes en esas zonas de influencia, servicio este que en la actualidad se ha visto

área de influencia de los proyectos, un entorno ambiental más agradable y a una además de una valorización de las viviendas de la población beneficiadas en el de los indicadores de metros lineales de pavimentación, que ira a representar de Desarrollo Municipal, se apuesta por lo general a la consecución y ampliación disminución de los porcentajes de las necesidades insatisfechas de la región. Así mismo dentro de otras de las políticas normalmente contempladas en un Plan

e investigación del subsuelo y reportes de laboratorios entre otros, se establecieron Es por ello que mediante la recopilación de información basada en la exploración condiciones de la subrasante, de tal manera que permitan garantizar un modelo identificar factores influyentes en el proyecto de diseño de la estructura de las condiciones actuales de los corredores viales en comento, además de eficiencia y economía estructural que brinde seguridad vial y satisfacción a los usuarios, con criterios de pavimento, tales como demanda del tránsito, factores ambientales, geológicos y

fundamentales de la comunidad, contribuirá a un incremento sustancial en la de movilidad del sector y a la disminución de los tlempos de recorridos a los servicios Este proyecto particular de pavimentación además de beneficiar las condiciones



calidad de vida de la comunidad circundante y de influencia de los referidos corredores viales.

de pavimento de tipo rígido, caracterizada por losas de concreto hidráulico, Para el diseño de la estructura de pavimento, se ha contemplado una estructura garantizar una superficie de soporte uniforme y homogéneo. apoyadas sobre una capa de material granular, con el fin de establecer y

pavimentos de concreto para vías con bajos, medios y attos volúmenes de tránsito Latinoamérica, así como la metodalogía establecida en el Manual de diseño de la metodología de la Portland Cerment Associatión, de amplia difusión en En la determinación del espesor de la losa de concreto hidráulico, se hará uso de del Instituto Nacional de Vías y un análisis final por Elementos Finitos.

carga vehicular, por la alta rigidez del concreto hidráulico, sea distribuida en una de la losa. La tipología de esta clase de estructura de pavimento permite que la ambientales, así como el criterio de erosión para limitar la deflexión en los bordes losa por los esfuerzos producidos en el pavimento debido a las cargas y a factores subyacentes a la losa de concreto hidráulico gran área de su superficie, lo que minimiza los esfuerzos actuantes en las capas En el diseño se controlan los criterios de la fatiga para impedir agrietamiento en la



### 1. OBJETIVOS DEL INFORME

#### 1.1 Objetivo General

del Instituto Nacional de Vías, versión 2022. establecidas en el Artículo 320 de las Especificaciones Generales de Construcción capa uniforme y homogénea de característica granulares y calidades constituída por una losa de concreto hidráulico apoyada directamente sobre una funcionalidad exigidos, considerando una superficie de rodadura de tipo rígido, Determinar una estructura de pavimento que cumpla los estándares de calidad y

#### 1.2 Objetivo Especifico

corredores viales antes relacionados y definir el y/o espesores de la losa de Evaluar de la lladamente los parámetros geotécnicos de los suelos localizados en los características de resistencia a los 28 días del concreto a la flexo tracción. concreto hidráulico, de acuerdo con las solicitaciones del tránsito esperado y a las

#### 1.3 Alcance

El estudio para el diseño de las estructuras de pavimentos en superficie de concreto aspectos principales: 1A y carrera 1B del municipio de Maicao, se tiene como alcance los siguientes 14 entre carrera 1 C y carrera 2; calle 23 entre carreras 26 y 31; calle 23 entre carreras entre calle 14 y 16; carrera 2 entre calle 13 y 16; carrera 31 entre calle 22 y 24; calle 23 y 24; carrera 18 entres calles 22 y 24; carrera 18 entre calles 16 y 20; carrera 1C hidráulico correspondientes a corredores viales urbanos de carrera 1ª entre calles

- e Determinación del perfil de suelos de la subrasante, para así estipular los estructura de pavimento a soportar. materiales predominantes que conforman la superficie de apoyo de la
- una profundidad de 1.50 m. que permita conocer los tipos de suelos y sus corredor vial, mediante la ejecución de diez (10) apiques exploratorios hasta Realizar una descripción completa del perfil estraligráfico existente en el



### NÉSTOR CALVO G

características resistentes que puedan llegar a ser afectados parlas cargas del

- ⇒ Definir de la investigación de campo y de laboratorio, las variables necesarias normas vigentes del Instituto Nacional de Vías. tránsito y los materiales de construcción de acuerdo con las especificaciones y para el diseño de espesores de la estructura del pavimento, en conjunto con el
- Û recomendaciones sobre el tratamiento durante la construcción de la estructura construcciones, indicar claramente su ubicación y presentar las dispersivos y/o materiales de rellenos constituídos por escombros de Ante la presencia de suelos potencialmente expansivos y/o colapsables y/o del pavimento.
- de la estructura de pavimento. Efectuar las recomendaciones necesarias para la colocación y conformación

Riohacha, La Guajira







NÉSTOR CALVO G.

## 2. LOCALIZACIÓN Y DESCRIPCION DEL PROYECTO

El proyecto se encuentra localizado en la zona urbana del municipio de Maicao, el cual limita al norte con los municipios de Uribia y Manaure, al este y sur con la Republica de Venezuela y al surceste con los municipios de Albania y Riohacha, del cual se encuentra de este último a 76 kilómetros de distancia de la cabecera municipal.

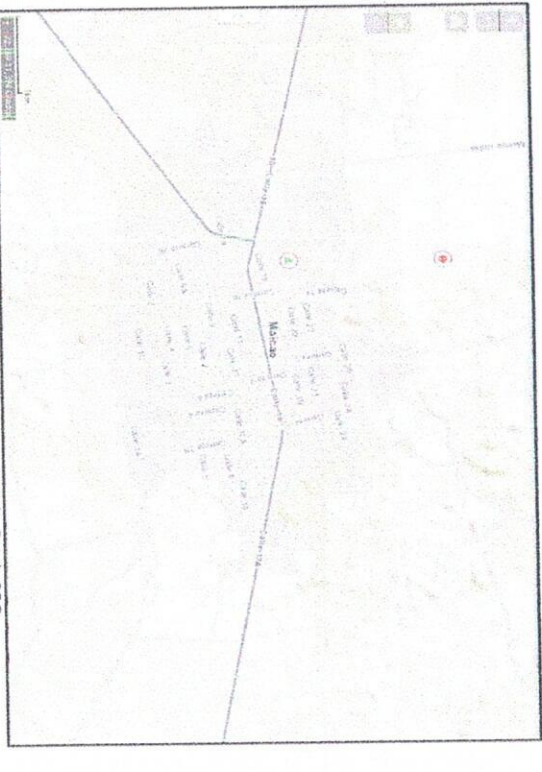


Ilustración 1. Plano urbanístico de la zona del proyecta. Fuente SGC

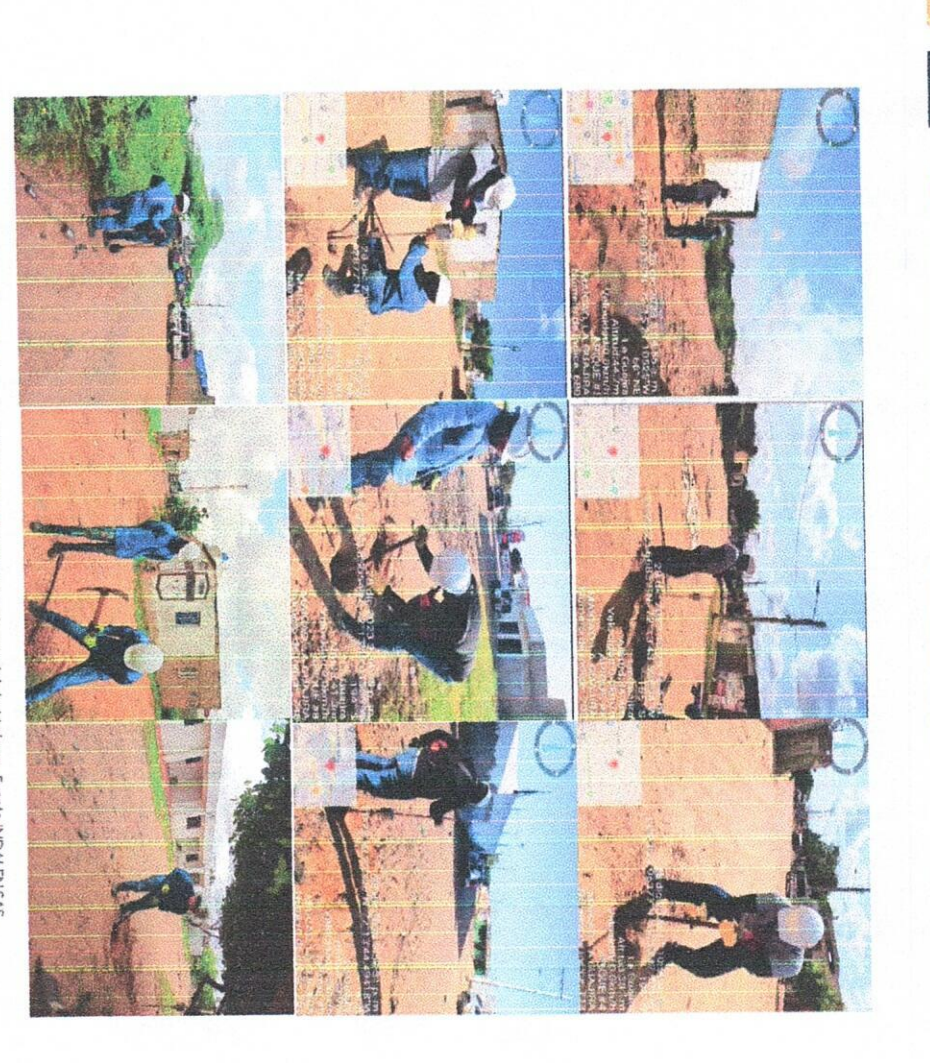


Ilustración 2. Panorámicas de cates y carreras del proyecto municipio Maicao. Fuente INDALEN SAS









El município tiene una extensión de  $1.825\,\mathrm{km^2}\,$  y se encuentra conformado por  $5\,$ comunas, 89 barrios y tres (3) corregimientos correspondientes a Carraipía, La Majayura y Paraguachón.

asentados en la zona urbana y una densidad poblacional de 69.45 habitantes/km². para el año 2023 de 194.675 habitantes, de los cuales 126.300 se encuentran C, allitud media 52 m.s.n.m y una población estimada según el portal de Wikipedia Su ubicación geográfica se encuentra en las coordenadas i 1º22′40" N y 72º14′29"

El proyecto de construcción contempla la pavimentación de los corredores viales calzada en concreto hidráulico, de ancho promedio de 7.00 m, confinada por para el cual se tiene proyectado una sección vehicular constituida por una carreras 26 y 31; calle 23 entre carreras 1A y carrera 1B del municipio de Maicao y carrera 31 entre calle 22 y 24; calle 14 entre carrera 1C y carrera 2; calle 23 entre 18 entre calles 16 y 20; carrera 1C entre calle 14 y 16; carrera 2 entre calle 13 y 16; urbanos de las carrera 1º entre calles 23 y 24; carrera 1B entres calles 22 y 24; carrera bordillos y andenes de promedio de 1.00 m respectivamente.

de transitabilidad interna en los corredores urbanos de la zona, lo que va a incidir La puesta en marcha de este proyecto hace parte del programa de mejoramiento administración municipal y de beneficio significativo para la comunidad significativamente en los indicadores de gestión por resultados para la vial urbano mediante la reposición de pavimento que incidirá en las condiciones



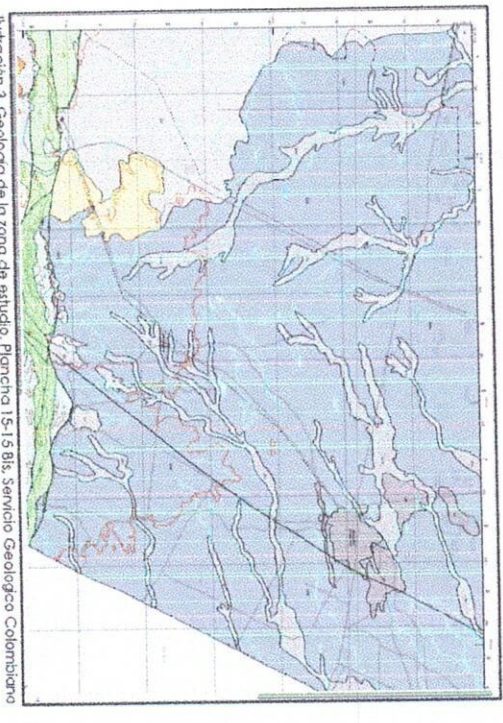


# 3. GEOLOGIA Y ASPECTOS CLIMATOLOGICOS DE LA REGIÓN

#### 3.1 Geología

aprovechamiento en el municipio de Maicao, La Guajira eloborado por la Corporación Ambiental de la Guajira (Corporguajira), "El municipio de Maicao por Según el Plan de Manejo Ambiental de Agua Subterránea, su administración y geológico Cuaternario donde prevalecen los depásitos características geológicas determinadas principalmente por pertenecer al periodo encontraise localizado en la zona denominada Media Guajira presenta glaciales, marinos, vulcanos clásticos, coluviales, eólicos y deltaicos. fluviales lacustres

Maicao existen sedimentos de lava y piroclásticos marinos confinentales como lutitas negras y calizas en el área de la cordillera. Del periodo Triásico en el territorio del municipio dentro del cual sobresalen sedimentos epicontinentales lagunar, principalmente conglomerados, pequeñas zonas de plegamientos y Dantra del periodo Terciario prevalecen los sedimentos lacustres o del ambiente localmente mantos de carbón; el periodo Cretáceo, también hace presencia en



llustración 3. Geología de la zona de estudio. Plancha 15-15 Bis, Servicio Geologico Colombiana

★57 3007583146

157 3007583:46 Riohacha, La Guajira



Las unidades más antiguas se encuentran en el límite sur del municipio de Maicao En el área de estudio se presentan rocas desde el Cretáceo hasta el Cuaternario sedimentarias, principalmente calizas de color negro a gris, macizas y compactas. Cretácico se conocen como Grupo Calcáreo (Ksc) y están conformadas por rocas y constituyen la Serranía del Perijá, donde se pone en contacto las rocas del Mesazoico (al sur) con rocas del Terciario y Cuaternario al norte. Las rocas del

de origen igneo, encerrados en una matriz areno arcillosa". grueso y conglomerados semicompactos, con cantos hasta de cinco centímetros arciliolitas arenosas semicompactas, intercaladas con areniscas de grano medio a Las rocas de edad Terciario corresponden a la Formación Mongui (Tpm). Son

#### 3.2 Estratigrafia

arcillo-arenoso, semiconsolidados a no consolidados de origen aluvial y en parte capas de la Edad Terciaria, conformando una gran lianura con sedimentos de tipo aluviales y de llanuras aluviales, (Q-al, código 189 en el mapa), que cubren las En términos generales, tal como se evidencia en el mapa geológico de Colombia del valle de los ríos Carraipía y Paraguachón. Se estima un espesor de 60 metros eólico que cubren las unidades paleógenas y se encuentran distribuidas a lo largo 2023, el territorio del municipio de Maicao se encuentra conformados por depósitos

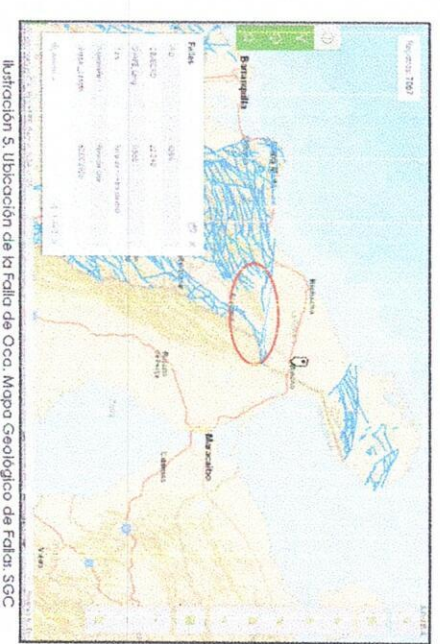


llustración 4. Estratigrafía región de Maicao. Servicio Geológico Colombiano

## NÉSTOR CALVO G.

de tamaño medio, de color amarillo grisáceo a amarillo rojizo, compuesto representado por código 183 en el mapa), de poco espesor, formados por arena 1965) y pueden alcanzar hasta 20 metros de espesor. totalmente por granos de cuarzo bien seleccionados y redondeados (Lockwood Así mismo predominio de depósitos acumulados de arenas eólicas Loes, (Q-e

de la Sierra Nevada de Santa Marta, así como la Serranía del Perijá. En la región del proyecto, la falla de Oca es el rasgo estructural más importantes una dirección E-W de desplazamiento lateral derecho y delimita el extremo norte tal como se muestra en el mapa del sistema geológico colombiano, presentando



lustración 5. Ubicación de la Falla de Oca. Mapa Geológico de Fallas SGC

colombiano, donde se cruza con la falla Santa Marta-Bucaramanga y se prolonga 7° y con una inclinación probablemente vertical a subvertical falla Boconó. Es una falla de tipa transcurrente cuyo rumbo promedio es N85.2°W+/hasta la costa oriental del Estado Falcón en Venezuela donde es cortada por la Esta falla se extiende aproximadamente por 265 Kilómetros en territorio

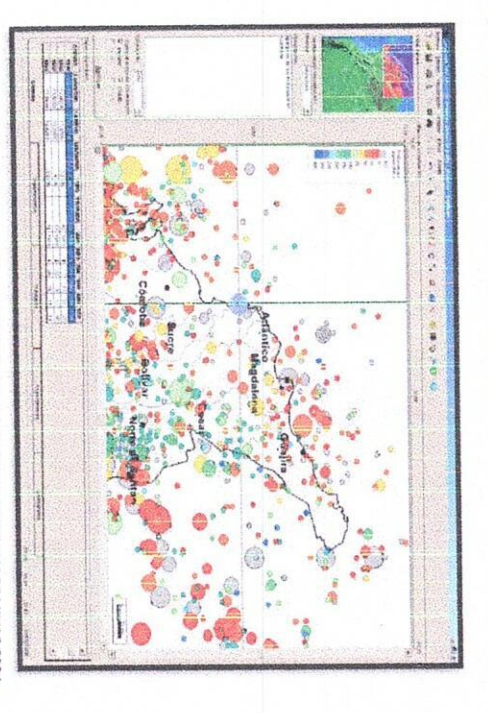
al rumbo (Ortiz, et al. 1993) Ranchería y Carralpía varian su curso en la zona de falla, y se colocan casi paralelos lineales paralelos al trazo de la falla, drenajes reflectados, escarpes de fallas, los ríos vertical asociada a una compresión sursuroeste, como son el desarrollo de valles La falla de Oca presenta algunos rasgos que indican actividad neotectónica



### 3.3 Consideraciones Sísmicas

en roca) de 0.15 y de un Av (velocidad horizontal pico efectiva) de 0.10. movimientos sísmicos de diseño corresponden a un Aa (aceleración pico efectivas de amenaza sísmica intermedia y de acuerdo con dicho reglamento, los municipio de Maicao, código 44430 (Guajira) se encuentra localizado en una zona Teniendo en cuenta el mapa de amenazas sísmicas, establecido en la NSR-10, el

representados en 1.0 y 1.3 respectivamente. espectro y Fv para la zona de periodos intermedios del espectro están de I =1,0. Los valores de Fa, correspondiente para la zona de periodos cartos del ocupación normal y el valor correspondiente a su coeficiente de importancia es proyectado se encuentra clasificada en el Grupo de Uso I para estructuras de El perfil de suelo típico es clasificado como "C", Así mismo el tipo de obra



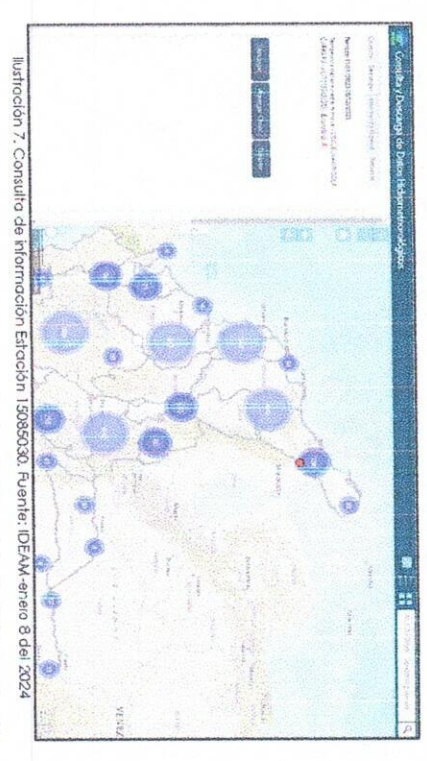
llustración 6. Eventas sismicos ocuridos en la Costa Atlántica Fuente: RSNC-INGEOMINAS 2006

se registró en fecha 16/10/2021, con magnitud de 4.0 en la escata de Richter. Según el S.G.C el último evento sísmico con epicentro en el municipio de Maicao



#### 3.4 Aspectos Climáticos

a la Consulta y Descarga de Datos Hidrometereológicos del IDEAM a partir de la Estación 15085030 Escuela Agricola de Carraipía activa desde 1968 y de influencia Para los registros alimáticos y demás parámetros ambientales relevantes, se acudió en la zona del proyecto,



en cuenta en un análisis mecanístico en la contribución de los esfuerzos debido al alabeo de las futuras losas. se resaltan la incidencia de los diferenciales de temperaturas que se deben tener Para el caso de las femperaturas, se presentan los registros del año 2023 y en donde

Tabla I. Registros de Temperaturas

	Temperaturas	C- Reporte 1-01-2	023 a 31-12-2023	Diferencial de
Mes	Máxima	Media	Minima	
Enero	30,74	25.51 22.77	22.77	7.97
febrero	31.24	25.68	22.48	
Marzo	31.88	26.70	23.44	
Abril	33.20	27.81	24.14	
Mayo	34.68	29.06	24.80	
Junio	34.89	29.64	25.36	
Julio	35.88	29.97	26.16	
Acosto	3816	30.45	25,76	



## NESTOR CALVO G.

Septiembrie         33.11         27.34         ***           Octubre         Sin registro         Sin registro         *           Noviembre         32.67         27.98         24.98         6.77           Diciembre         31.75         27.53         24.76         6.99	V.U.3	24.53	28.15	33.65	Promedio Anual
35.11 27.34 20.03 Sin registro Sin registro Sin registro 27.98 24.98	0.77	24./6	2/.53	31.75	Diciembre
Sin registro Sin registro Sin registro	1,70	24.70	2/.98	32.6/	Noviembre
35.11 27.34 20.33	777	0110001110	old registro	SIN registro	Octubre
	*	Cin radioto	27,04	35.11	Septiembre

Fuente: Estación 15085030 IDEAM

El registro de los valores mensuales correspondiente al periodo del 01-01-2023 al 31fenómenos climáticos cíclicos que en los últimos años se han presentado en el país. município por su bajo régimen pluviométrico, debido muy seguramente a las altas La precipitación es otro de los parámetros importantes, y se caracteriza en el temperaturas y si bien es cierto ha experimentado cambios significativos por los 12-2023, se indican en la tabla siguiente:

Tabla 2. Registro precipitación Estación 15085030

Enero	Feb.	Mzo	Abril	Mayo	Junio	Julio	Ago.	Sep.	Oct.	Nov.	DIC.
20	10.4	38.6	112.6	139.9	51.1	12.6	93.9	296.2	*	178.6	100

septiembre pasado, su precipitación se consideró "Intensa", ya que se obtuvo registros por encima de los 281 milímetros. enero, febrero, julio y diciembre como "Escasa", mientras que, en el mes de octubre, fue de 959 milímetros y su denominación es catalogada en los meses de La precipitación acumulada del año 2023, sin contar con el registro del mes de

Tabla 3. Tipo de precipitación

Denominación	Precipitación diaria (mm/día)	(mm/mes)
Escasa	0-5	0-20
ligera	610	21-40
Moderada	11-20	41-80
Fijerte	21.00-50.99	81.00-200
Mily Stierte	51.00-69.99	201.00-280.99
Intensa	> 70,00	> 281

temperaturas, el registro disponible es como se señala en la tabla adjunta, Con relación a la humedad relativa, parámetro que está muy relacionado con las

Tabla 4. Registro de Humedad Relativa

Enero	Feb.	Mzo	Abril	Mayo	Junio	Julio	Julio Ago.	Sep.	Oct.	NOV.	DIC.
13	98	98	100	100	98	100	95	90	*	92	90





latitud y longitud en grados decimales y posee registros actualizados hasta el año Para la información de la velocidad del viento, teniendo en cuenta que las tres (3) estaciones con influencia en la zona del municipio de Maicao, como son, la información de cualquier punto del globo terráqueo a partir de su localización de parámetro, se acudió a los datos abiertos de la página de la NASA, que brinda 15085030 Escuela Agrícola Carraipía (Climática Ordinaria) no registran este tipo de 15070160 Escuela Ceura (Pluviométrica), 15087080 Paraguachán (Limnigráfica) y



liustración 8. Pagina para abtención de parámetra climático. Fuente https://power.larc.nasa.gov/data-access-viewer/

Los registros obtenidos de la referida página se indican en la tabla siguiente

Tabla 5. Registros mensuales de la Velocidad del Viento

			-	*************	-						
Enero	Feb.	Mizo	Abril	Mayo	Junio	Julio	Agosto	Sep.	Oct.	Nov.	Dic
3.53	3,49	2.94	2.72	4.59	5.09	6,34	5.90	4.97	2.96	2.23	3.46

enconfrarse en el rango de 3.4-5.4 m/seg. de Beaufort (NOAA,2008) su denominación corresponde a "Brisa Suave" por El promedio anual de la velocidad del viento es de 4.02 m/seg y según la escala

X



157 3007583146

## 4. ANÁLISIS Y PROYECCIÓN DEL TRANSITO

estructura de pavimento es el tránsito, donde el número y peso de los ejes son Una de las variables más importantes en el diseño y comportamiento de una factores determinantes.

uno de los corredores viales de mayor afluencia vehicular a pavimentarse y el cual Para el análisis del tránsito, se consideró la información aportada de un aforo se adjunta: realizado durante tres (3) días en el periodo del 24 al 26 de diciembre del 2023 en

Tabla 6. Resultadas de afaro vehicular (vehiculos/día)

Aforos	Autos	Buses	C2P	C2G	C3-C4	S	Q
DIA 1	234	65	7	0	2	0	0
DIA 2	208	55	14	0	-	0	0
DIA 3	149	43	5	0	0	0	0

Fuente: Elaboración propia

El tráfico promedio diario semanal obtenido de 259 veh/día, son indicadores que los referidos corredores viales son de bajo volumen y su distribución porcentual es como sigue:

Tabla 7. Distribución del TPDs

			Distribució	ón porc	entual (	%)		
PD (v/dia)	Autos	Buses	Camiones	C2P	C2G	C3-C4	C5	06
259	76.0	20.0	4.0	90.0	0.0	10.0	0.0	0.0

Fuente: Elaboración propia

se fundamenta en las máximas autorizadas por el Ministerio de Transporte y que se La distribución de las cargas por eje asumida para el análisis del espectro de carga consigna a continuación:

Tabla 8, Pesas máximo vehículos y ejes.

	2		Peso Ejes (t)	
lipo Veniculo	reso maximo (i)	Direccional	Trasero	Indem
Bus	10,0	4.0	6.0	,
C2P	8.0	2.8	5.2	
C2G	14.0	4.9	9.1	,



## NÉSTOR CALVO G.

26.0	18.2	7.8	52.0	C6
24.0	18.0	6.0	C5 48.0	CS
	19.6	8.4	28.0	3-C4

Fuente Resolución 4100 Ministerio de Transporte

un valor del 3%. de la red vial nacional. Para este caso en particular, la Consultoría propone asumir Manual de diseño de pavimentos asfalticos en vías con medios y altos volúmenes crecimiento entre el 2% al 4%, resultado de un muestreo realizado en 28 estaciones de tránsito, para un IPD menor de 500 vehículos/día, recomienda una tasa de Para la proyección del número de repeticiones de cada tipo de eje y carga, el

la PCA es de Factor carril =1.0. Así mismo, como no se tiene aforo de la distribución sola calzada y un carril por sentido, su factor por carril de acuerdo con criterios de veinte (20) años y teniendo en cuenta que se trata de una vía y/o calte con una direccional de los vehículos pesados, se recomienda en estos eventos asumir un El periodo de diseño considerado para este tipo de estructura es normalmente de Factor direccional del 50%.

La formulación para la proyección del tránsito es del tipo:

$$f_p = \frac{(1+r)^n - 1}{Ln(1+r)}$$

 $F_p = factor de proyección$ 

r = tasa de crecimiento (por ciento decimal)

n = periodo de diseño (años)

y en la determinación del número de vehículos comerciales en el carril de diseño durante el periodo de diseño, NVC, la expresión es la siguiente:

$$NVC = 365 * TPD * \%VC * Fd * Fca * F_p$$

- % vehículos comerciales (VC): 24.0%
- Factor de proyección: 27.2714
- Número de Vehículos comerciales díarios en el carri de diseño: 31



### NÉSTOR CALVO G.

Número de Vehículas comerciales en el carril de diseño durante el periodo de diseño: 310,517

Efectuado el análisis por cada mil (1000) vehículos comerciales, se tiene:

Tabla 9. Número de vehículos comerciales por día por carril

IOUU	24	IOTAL
		0
0	0	26
42		C3-C4
0	0	C2G
208	5	C2P
130	i o	BUS
veril color colores		
in big ilas comerciales	No. vehículos diarios/carril	Vehículo
N.V.C/dia/caril/por cada 1000		

Fuente: Elaboración propia

Tabla 10. Número de ejes en el carril de diseño durante el periodo de diseño

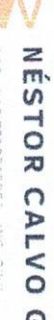
TOTAL	19.6		TOTAL	8.4		TOTAL	2.8	4.0	5.2	6.0		Carga Eje (t)
42	42	EJES TANDEM	42	42	EJES SIMPLES RUEDA DOBLE	1,916	208	750	208	750	EJES SIMPLES RUEDA SIMPLE	Ejes por cada 1000 vehículos comerciales
13,044	13,044		13,044	13,044	BLE	595,046	64,598	232,925	64,598	232,925	NPLE	Número de ejes en el carril de diseño/Periodo de diseño

FUENTE Elaboración propia

equivalentes acumulados de 8.2 toneladas en el carril de diseño durante el período de la Universidad del Cauca (1996) reporta un tránsito de diseño de 328,564 ejes Concreto del Instituto Nacional de Vías, los cálculos utilizando los factores camión Para el análisis del tránsito por la metodología del Manual de Pavimento de







## 5. CARACTERIZACIÓN GEOTECNICA

tratados a partir de ensayos directos o indirectos, dependiendo la magnitud del resistencia al corte y la capacidad de soporte, aspectos estos que deben ser constituyentes, la plasticidad, su capacidad de drenar, la compresibilidad, su determinar, el origen de los suelos, la distribución granulormétrica de las partículas Es importante anotar, que una exploración geotécnica, debe estar encaminada a

calle 14 y 16; carrera 2 entre calle 13 y 16; carrera 31 entre calle 22 y 24; calle 14 y 24; carrera 18 entres calles 22 y 24; carrera 18 entre calles 16 y 20; carrera 1C entre (10) apiques exploratorios sobre los carredores viales de la carrera 1º entre calles 23 y el análisis de su respuesta de comportamiento ante las solicitaciones de carga determinando de esta forma la calidad relativa de éstos materiales de fundación de Cono PDC (INV-E-172-2013), con el fin de caracterizar los suelos de subrasante Limites Plásticos (INV-E-126), Humedad Natural (INV-E-122) y Penetración Dinámica entre carrera 1C y carrera 2; calle 23 entre carreras 26 y 31; calle 23 entre carreras diciembre de 2023 y 05 de enero del año 2024 y se orientó a la ejecución de diez fue adelantada por la firma INDALEN SAS en el periodo comprendido entre el 28 de La exploración geotécnica como uno de los insumos para el diseño del pavimento entomo climático y ambiental de la zona laboratorios tales como Granulometría (INV-E-123-2013), Límites líquidos (INV-E-125) 1A y carrera 18 y que consistieron en una serie de ensayos de campo y de

informe presentado por la firma INDALEN SAS, el cual es base para los análists de estos ensayos de caracterización se encuentran referenciados en los anexos del subsiguientes la superficie actual de rasante de las calles existentes y los resultados de cada uno La profundidad media de exploración se estableció en 1.50 metros por debajo de

★ +57 3007583146

K

157 3007583146

Riohacha, La Guajira





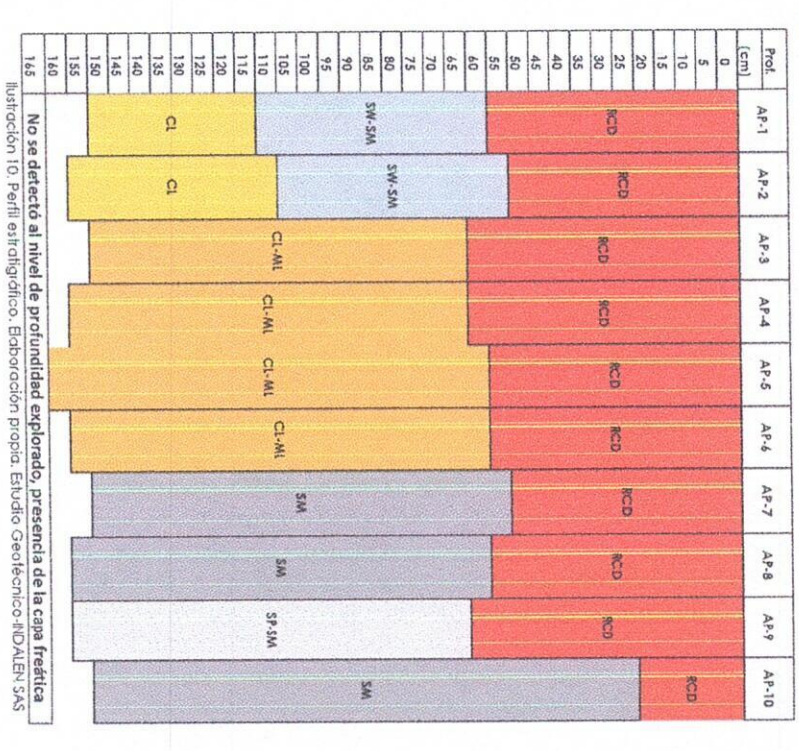
Ilustración 9. Apiques exploratorios. Fuente: Estudio Geotécnico-INDALEN SAS

#### 5.1 Perfil Estratigráfico

No. 10, en donde el espesor de este material depositado es de unos 0.20 m. en espesares promedia de 0.40 a 0.50 m, a excepción en el muestreo del apique demolición de construcciones (RCD) que fueron depositados a través del tiempo encuentran constituidos por rellenos de materiales producto del residuo de la El perfil estratigráfico muestra que superficie existente de los carredores viales se

encuentran representados por materiales granulares clasificados como arenas El 60% del material que subyace a estas materiales residuos de construcción se máximo del 8.6%; y el 40% restante que actúan como soporte inmediato de esos 30.4% al 96.8%, contenido de humedad natural mínimo del 2.8% hasta un valor limosas mal gradadas, con porcentajes que pasa el tamiz # 40 del orden entre el residuos corresponden a arcillas limosas color café, con porcentajes del pasa 200 entre el 52.2 % al 59.8%

## NÉSTOR CALVO G.



#### 5.2 Compresibilidad

la expresión de Skempton (1994) en función del límite líquido y que expresa, la El análisis de compresibilidad de los suelos con matriz arcillosa se correlacionó con siguiente formulación:

$$C_c = 0.009 * (LL - 10)$$

+57 3007583146

K

+57 3007583146 Riohacha, La Guajira

Es de anotar, que esta correlación presenta un mejor coeficiente de ajuste para desarrollado en la Maestría en Geotecnia de la Universidad Pedagógica y métodos numéricos del sistema de fundación del Viaducto el Gran Manglar, arcillas de llanuras casteras como parte del proyecto Modelación mediante sobre correlación entre el límite líquido y el coeficiente de compresibilidad para suelos de compresibilidad media a baja de acuerdo a la investigación adelantada Tecnológica de Colombia, año 2016 por el ingeniero Carlos Alberto Martínez

arcillosos CL del orden de 0.23 a 0.25, indicadores de suelos con compresibilidad suelos CL, basada en la correlación de la tabla adjunta, de Ligera a baja para los primeros relacionados y de Moderada a Media para los compresibilidad para los estratos arcillosa-limosos CL-ML de 0.09 a 0.14 y para los En nuestro caso partícular, los resultados muestran valores de índices de

Tabla 11. Compresibilidad de suelos arcillosos

>51	0.40 o más	Alta
31 a 50	0.20 a 0.29	Moderada a Media
0 0 30	0 a 0.19	Ligera a baja
Limite Liquido (%)	Índice de Compresión	Compresibilidad

Fuente: Sowers y Sower, London 1978

consistencia dura y tendrá un comportamiento rígido a 2.05, mayores que 1.00, lo que es indicador de que el suelo presenta una Los valores de la consistencia relativa de las muestras analizadas se sitúan entre 1.65

subyacente se representan en la siguiente ilustración, El perfil de humedad en la interfase de los rellenos existentes de RCD y el suelo



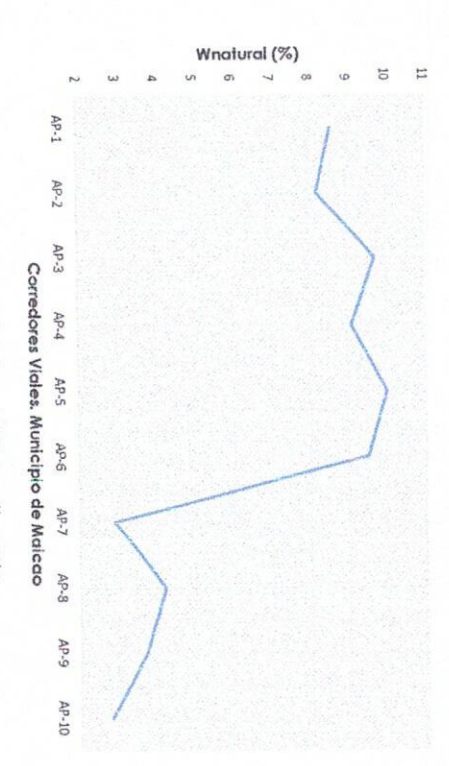


Ilustración 11. Perfil de humedad. Elaboración propia

mínima para el cual el suelo puede ser amasado presente en los corredores viales urbanos explorados, porcentajes de humedad por debajo de los contenidos de limite plástico de las muestras analizadas y Es importante anotar que los valores de humedad natural obtenidos se encuentran

#### 5.3 Plasticidad

materiales explorados, su variación se encontró entre el 6% al 21.7%, esos valores la correlación obtenida de la Teoretical Soil Mechanic. característica de resistencia en estado seco tipo Lígera, en gran proporción, según representan suelos arcillosos "úgeramente a Medianamente plástico" y con Con relación a las características de plasticidad de los suelos finos presente en los

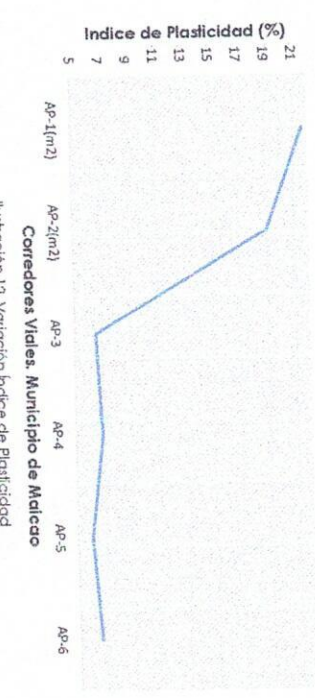
Tabla 12 Carrelación IP

Alfa	31 o mayor	Muy plástico
Mediana	15-30	Medianamente plástico
Ligera	4-15	Ligeramente plástico
Muy baja	0-3	No plástico
Resistencia en estado seco	Indice de plasticidad	Término utilizado

Fuente Teoretical Soil Mechanic



los estratos se ilustra a continuación, La representación gráfica de los valores de índice de plasticidad en cada uno de



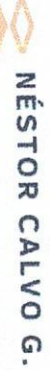
llustración 12. Variación Índice de Plasticidad

#### 5.4 Deformabilidad

arcillosa, aunque no se conocieron información de % de expansión en probetas de Respecto a la deformabilidad de los suelos exploradas con presencia de matriz los clasificados como CL-ML valor que se encuentran ligeramente por encima de libre, en función de sus propiedades índices ( LL y Wn) del alrededor de 2.4% para la expresión del U.S. Army Corp of Engineer, en el que se obtiene un % de expansión CBR, las correlaciones de investigaciones a partir de sus propiedades índices, como Construcción del Instituto Nacional de Vias. los límites establecidos en el Artículo 220 de las Específicaciones Generales de

### 5.5 Características Drenantes

obras de carreteras del Instituto Nacional de Vías 2012 y en la que se tiene una En el análisis de la capacidad de drenar de los suelos explorados, se asume como calificación de un mai drenaje y de 104% a 104% para las arcillas con características estimación, para los suelos de características areno-limosos de  $10^{46}$  a  $10^{45}$ , con referencias las correlaciones establecidas en el Manual de Cimentaciones para de suelos prácticamente impermeables



### Tabla 13. Característica de drenaje

			10%
impermeable		Arcillas no fisuradas	108
Prácticamente		Limos-arcillosos	107
Will distribe		limos y arena limosas	9-01
Lini drongio	diferdada	Arenas muy finas,	10-5
	Arcillas lisuradas y		104
Buen drenaje	ill as El march as V	mezclas grava-arena	10:3
		Arenas limpias	10-2
			101
			100
Muy buen drendje		Gravas limpias	101
			102
		COULDINGER	

Fuente: Manual de diseño de cime

de investigación, como el expresado por el Comité Alemán de Defensa, según establecer a partir de correlaciones indirectas plasmadas en muchos documentos 1.8 t/m3 y para arenas limosas un peso específico de 1.9 t/m3 respectivamente. Referente al peso específico seco en estado natural de estas suelos, se pueden tabla adjunta, y en la que asocia a suelos arcillosos, valores de peso específico de

\*57 3007583146



K

+57 3007583146



## Tabla 14. Valores de Pesos Específicos suelos

Fuente Comité Alemán de Defensa. EAU-1970

## NÉSTOR CALVO G.

#### 5.6 Polencial de Colapso

encantrados, entre 21.1% a 37.5%, según la gráfica adjunta parámetros del límite líquido y la densidad seca natural, obtenidas por Un análisis indirecto, del potencial de colapso de estos suelos, en función de correlaciones indirectas, indican que para el rango de los limites líquidos

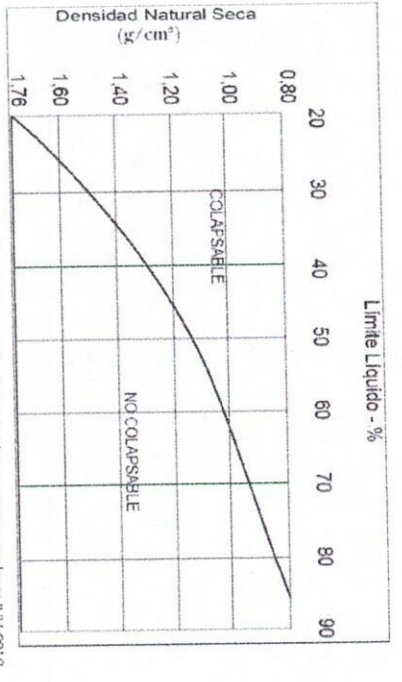


Ilustración 13. Colapso de suelo, Fuente Manual de Cimentaciones para carreleras INV 2012

t/m3, la estimación establecida es que no son proclives a fenómenos de colapso. los suelos analizados, para las condiciones de pesos específicos de 1.8 t/m3 a 1.9

## 5.7 Resistencias al corte no drenado

inferir a través de la correlación de Yilmax (2000) que se muestra a confinuación. La resistencia al corte no drenado de estos suelos con matriz arcillosa se puede

$$S_u = e^{(0.926 - 1.21/L)}$$

Donde:

 $S_u = Resistencia al corte no drenada, kg/cm2$ 

IL = Indice de Iliquidez del suclo





se sitúa en valores entre 1.42 a 2.25 kg/cm². baja plasticidad detectados en los apiques 1 y 2, su resistencia al corte no drenado el rango vario entre 2.25 a 3.66 kg/cm² mientras que para los suelos arcillosos de Para los suelos arcilio-limoso de baja plasticidad, la resistencia al corte no drenado

El resumen de los resultados de los ensayos practicados a las muestras alteradas referente del proyecto de pavimentación, se indican en la tabla siguiente, obtenidas de los diez (10) apiques exploratorios en los distintos corredores viales

Tabla 15. Resumen de exploración apiques

APIQUE		PROF	29	% Pasa Tamiz	miz	W.W	ш	TP.		P
No.	MUESTRA	(m)	No. 4	No.40	No.200		1	18	1	
	1 48	0 55-1 10	61.7	44.6	14.5	8.6	,		_	2
-	1-100	0.00	200	0.80	80.4	9.9	37.5	15.8		21.7
	W-2	1.10-1.20	77.7	10.4	0000					NID
-	M-1	0.50-1.05	60.7	43.3	12.5	8.2	,	,	1	NF
v	1777	0.00		000	2 70	40	35.4	16.4		0.61
7	M-2	1.05-1.55	99.9	98.0	84.5	4.0	00.1		1	
,	M	0 55-1 50	99.6	93.4	59.8	9.7	20.4	13.9		6.5
G	1-16	0.00	T				011	142		6.9
4	M-1	0.55-1.55	99.5	92.7	55.8	9.1	1.12		1	
7	M-1	0.50-1.60	99.5	921	52.2	10.0	223	10.3		0.0
		25 1 25 0	07.6	918	53.9	6.2	25.5	19.0		6.6
0	1-W	0.00	1		1				1	F
7	M-1	0.50-1.50	99.6	96.8	45.3	2.9			1	1
		0 55.1 55	560	30.6	11.2	4.2				K
00	W-1	0.00-1.00	00.0	100	1					N N
0	W-1	0.55-1.55	55.9	30.4	10.9	3.7			1	IN
5	W-1	0.20-1.50	100.0	89.8	10.8	2.8				2

Fuente: Estudios de suelos-INDELAIX SA-

## 5.8 Características de rigidez del suelo natural

rígido, es fundamental el conocimiento del módulo de reacción del suelo de Dentro de las variables requeridas en el diseño de una estructura de pavimento subrasante el cual puede obtenerse mediante ensayos de placa de carga estática la AASHTO recomienda obtener este parámetro mediante carrelación con valores en cuenta la clasificación como nivel 3 de diseño para este proyecto en particular, y/o dinámica; pero, por las dificultades que este lipo de ensayo conlleva y teniendo

promedio de 0.50 m, que inevitablemente deben ser sustituidas por materiales de de unos depósitos de residuos de materiales de construcción en un espesor proyecto y referenciados en el Capílulo 2 del presente informe, existe la presencia Según el perfil estratigráfico de los corredores viales establecidos en el alcance del



la rigidez del suelo natural, para lo cual se llevó a cabo la ejecución de diez {10} hidráulico a proyectarse. Sin embargo, se hace importante la caracterización de se apoyará directamente las capas de subbase granular y la losa de concreto laboratorio mínimo de 10%, va a constituirse en el suelo de subrasante sobre el cual relleno seleccionado, que se recomienda en lo posible acredite un CBR de de Construcción de Carreteras del Instituto Nacional de Vías. Este material de relleno seleccionado acorde al Artículo 220-22 de las Especificaciones Generales penetración determinar por correlación los valores de CBR, según lo establece la ensayos de Penetración Dinámica de Cono (PDC) y a través de la pendiente de norma INV-E-172-2013.

INDALEN SAS, se describen a continuación: El resumen de estos resultados contenidos en el informe de suelos de la firma

Tabla 16. Resumen ensayos de penetración dinámica de cono

PDC-No.	Pendiente (mm/golpe)	CBR (%)	0
00	44.00	4.2	WAS
	44.10	4.2	
	35.00	5.4	MS
2	36.00	5.3	0
-	33,00	5.8	0
ω	35.00	5.4	-
	25.00	7.9	2
4	23.80	8.4	
-	33.50	5.7	0
Ch	37.60	5.0	-
	44.00	4.2	2
٥	43,00	4.3	
-	32,40	5.9	2
7	40.00	4.7	-
-	33.30	5.8	SP-SM
00	38.40	4.9	-
-	33.60	5.7	SP
9	38.20	4.9	-
-	26.80	7.3	Sp
10	30.60	6.3	

Fuente: Estudio de suelo -INDELAN SAS

de esa información un CBR de diseño del suelo natural. criterio de diseño se puede asumir una sola unidad homogénea y obtener a partir Como puede observarse los valores de CBR son muy similares, por lo que para el

★57 3007583146

**ii** +57 3007583146



media de la AASHTO representado en la siguiente formulación: A fin de determinar el CBR de diseño del suelo natural, se asumió el criterio de la

$$CBRdiseño = CBR_{promedio} - (Z_r * \sigma)$$

Donde:

CBR<sub>disoño</sub> = valor representatito de la unidad de diseño (%)

 $CBR_{promedio} = valor promedio de los CBR obtenidos (%)$ 

 $Z_r = valor normal estandar para un Nivel de Confianza$ 

 $\sigma = desviación estandar de los valores de CBR$ suministrados de 5.6%, se obtiene un valor de CBR diseño de: curva de Gauss de 0.841 y con un CBR promedio calculado de los dafos Para un nivel de confiabilidad asumido del 80% corresponde un valor de Zr en la

$$CBR_{dtsofto} = 5.6\% - (0.841 * 1.18) = 4.6\%$$

el siguiente criterio: como subrasante Pobre a regular, camo lo manifiesta el ingeniero Hugo Rondón en Para la condición de este CBR de la unidad de diseña la clasificación del suelo

Tabla 17. Clasificación de suelos de subrasantes

	A STATE OF THE PARTY OF THE PAR
Bueno	20-50
Regular	7-20
Pobre a regular	3-7
Muy pobre	0-3
Clasificación General	Valor de CBR (%)

Fuente: Pavimento, Materiales, Construcción y Diseño. Hugo Rondón. Pag 352

0.50 m y con un CBR mínimo recomendado del 10% en reemplazo del depósito colocar una capa de relleno de material seleccionado en un espesor promedio de actual de los corredores viales, se va a tener un incremento del CBR de diseño, acumulado de materiales producto de residuos de construcción en la superficie Sin embargo, teniendo en cuenta que sobre este suelo natural se recomienda formulación de IVANOV y que a continuación se describe: denominado CBR de mejoramiento, el cual es determinado mediante la



### NÉSTOR CALVO G



$$n = \frac{zs}{\sqrt{E_0}}$$

Donde:

 $E_v = \text{M\'odulo equivalente de subrasante mejorada} \left(\frac{kg}{cm^2}\right)$ 

 $E_0 = \text{Modulo de elasticidad de la subrasante} \left(\frac{kg}{cm^2}\right)$ 

 $E_1=$  Módulo de elasticidad del material de terraplén o relleno  $(\frac{kg}{cm^2})$ 

s =Espesor del material de relleno seleccionado (cm)

a = Radio del area cargada (cm)

El Módulo de cada capa se obtiene mediante la ecuación de la AASHTO que expresa:

$$M_r\left(\frac{kg}{cm2}\right) = 130 * CBR^{0.714}$$

regular por situarse en el rango del 7% al 20% según la tabla anterior el CBR de diseño de la subrasante y que tendrá una clasificación de característica la AASHTO, se traduce en un CBR equivalente del 9.1%, valor este que representará subrasante mejorada de 629.31 kg/cm2, que utilizando de nuevo la ecuación de espesor promedio de relleno de 50 cm, se obtiene un Módulo equivalente de la CBR del suelo natural de 4.6%, CBR del material de relieno seleccionado de 10%, Resolviendo las anteriores ecuaciones para un área de radio cargada de 15.2 cm,



## 6. DISEÑO DE LA ESTRUCTURA DE PAVIMENTO

materiales que constituyen el pavimento deben cumplir ciertas especificaciones El Pavimento es una estructura conformada por varias capas de materiales dependerá básicamente el desempeño funcional y duración de éste durante su dimensionamiento de cada una de las capas que conforman la estructura. una circulación cómoda y segura a los usuarios de la vía. Por consiguiente, del buen repetitivas del tránsito y la acción del intemperismo; igualmente debe proporcionar con el fin de resistir adecuadamente los esfuerzos transmitidos por las cargas seleccionados, construido entre la subrasante y la superficie de rodamiento. Los puesta en servicio.

#### 6.1 Metodología de la PCA

de la Portland Cement Associatión (PCA) desarrollado por P. Fordyce y R. Packardla Manual de Pavimentos de Concreto. publicado en 1984, y la establecida por el Instituto Nacional de Vías a través de su Para el diseño de la estructura del pavimento rígido, se consideró la metodología

fundamentales: La metodología de diseño de la PCA se fundamenta en dos (2) criterios

límites de seguridad y con ello prevenir la fatiga por agrietamiento. la acción de las cargas, incluidas las de alabeo y curvado de la losa, dentro de Criterio de fatiga, para mantener los esfuerzos que se generan en el pavimento por

de su contenido de humedad con la profundidad, El efecto del alabeo es doble: El alabeo es la deformación cóncava hacia arriba de la losa debido a variaciones de tensión en el fondo de la losa. Durante la noche, la distribución de temperatura superior está más caliente que la parte inferior, se desarrollan estverzos restringidos la losa debido a las variaciones de temperatura. Durante el día, cuando la cara a comprensión en el fondo de la losa. El curvado se refiere al comportamiento de Pérdida de soporte a lo largo de los bordes de la losa y restricción de los esfuerzos es a la inversa y los esfuerzos de tensión restringidos se desarrollan en la superficie

## NÉSTOR CALVO G

Usualmente el efecto combinado de los esfuerzos de alabeo y de curvado son substraídos de los esfuerzos de carga, debido a que el contenido de humedad y temperatura en la parte inferior de la losa, exceden mayormente a los de la parte

El uso del criterio por faliga se origina en la hipótesis de Miner, que dice que la axial dada se determina en base a la relación de esfuerzos (esfuerzos de flexión debería exceder al 100%. El número permisible de repeticiones para una carga resistencia a la fatiga no consumida por las repeticiones de una carga está dividido entre el módulo de rotura a los 28 días). disponible para las repeticiones de otras cargas. La fatiga total consumida no

juntas del pavimento, especialmente en pavimentos con juntas sin pasadores. subbase y bermas de hornigón; vacíos debajo y al lado de la losa; y la falta de las bordes de la losa causan bombeo; erosión de los materiales de subrasante. suelo de soporte. Muchas repeticiones de carga por eje pesado en las esquinas y pavimento en los bordes de las losas, juntas y esquinas y controlar la erosión del Criterio de erosión, para limitar los efectos de la deflexión de la estructura del

Los parámetros de diseño que constituyen la metodología se relacionan a

- Resistencia del concreto a la flexión, establecido mediante el módulo de rotura,
- Resistencia del suelo de subrasante, establecido mediante el módulo de y cuantificado por el parámetro K. reacción de la subrasante y correspondiente a resultados de ensayo de placa
- Los pesos, frecuencias y tipos de cargas axiales de los vehículos comerciales que la estructura del pavimento soportará.
- El periodo de diseño, que normalmente se considera de veinte (20) años

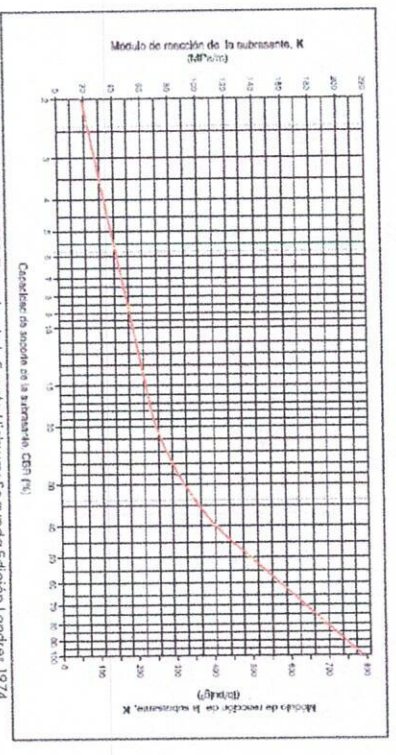
particular se describen a continuación: Los valores de cada uno de estos parámetros establecidos para este proyecto

+57 3007583146



capacidad de soporte CBR de la subrasante y el Módulo de Reacción Ksrte. Granular/Subrasante, se obtiene mediante las respectivas correlaciones entre la El Módulo de Reacción del apoyo de la losa (K) o Módulo de Reacción del conjunto

del 9.1%, en el cual se incluye los 500 mm de material de relleno seleccionado y un módulo de reacción de subrasante, Ksrte de 50 Mpa/m. que representa de acuerdo con la correlación de O'Flaherty C. (grafica adjunta) # 1 al #10 se tiene un CBR de la capa mejorada a través de la expresión de IVANOV Dadas las características del material de subrasante para los tramos de los apiques



llustración 14. Relación CBR % y valor de k. Fuente Highway Segunda Edición Landres 1974

de Vias, de 150 mm que además de servir como una superficie homogénea de un incremento en la capacidad de soporte del pavimento. En la tabla 18, se erosión del material de soporte, el módulo del conjunto losa-subbase contribuirá a apoyo a la losa de concreto hidráulico y contribuir a prevenir el fenómeno de Especificaciones Generales de Construcción de Carreteras del Instituto Nacional requerimientos de calidad establecido en el Articulo 320-22 y/o actualizadas de las interpola el incremento en el módulo de reacción del apoyo de la losa Kc en un Teniendo en cuenta la colocación de una capa de subbase granular, con valar aproximado de 56.65 Mpa/m.





l'abla 18. Efecto de la subbase granular sobre los valores de K

VALOR D	EKPARA		VALOR D	DE K PARA LA SUBBASE O	SUBBASE C	GRANULAR	
LA SUBR	LA SUBRASANTE	150	50 mm	225	225 mm	300	cum
Mpa/m	Lb/plq <sup>3</sup>	Mpa/m	Lb/plg <sup>3</sup>	Mpa/m	Lb/plg <sup>3</sup>	Mpa/m	Lb/plg
in the chine	0.21		-		-		
20	73	26	96	32	117	38	140
	-	10	100	57	210	66	245
40	147	49	180	5/	210	00	747
45	220	66	245	76	280	90	330
5	-			-			100
88	295	90	330	100	370	117	430

Fuente Portland Cemment Association

#### 6.1.2 Tránsito

determinación del número de repeticiones esperadas por cada tipo de eje (simple, determinación del Espectro de Carga correspondiente al periodo de diseño. La Para la aplicación de la metodología de la PCA-84, es fundamental lándem y trídem) se puede observar en la Tabla 10 del presente documento.

### 6.1.3 Transferencia de Carga

pasadores de cargas para transferencias de cargas, constituidas por barras lisas y Para el diseño del pavimento se ha considerado que las losas estarán dotadas de localizadas en las juntas transversates.

## 6.1.4 Factor de seguridad de carga y repeticiones

seguridad de carga y mayoración de repeticiones se asume de 1,0 para carga y tráfico pesado. Dadas las condiciones particulares de este proyecto el factor de pesado moderado, y un factor de 1.2 para vías principales con altos volúmenes de volumen de tráfico pesado, 1.1 para calles y vías arterias con volumen de tráfico por un factor de seguridad que pueden ser del orden de 1.0 para vías de bajo El método de diseño considera que las cargas y repeticiones deben ser mayoradas 1.2 para el de repeticiones.

#### 6.1.5 Efecto Berma

vehículos estan colocadas cerca al borde del pavimento. Cuando una berma de El esfuerzo más critico en el pavimento rígido se produce cuando las llantas de los

★57 3007583146

K

concreto se liga al carril, generandose una distancia de por lo menos 0.60 m, entre las llantas y cada uno de los bordes de la losa (interno-externo), la magnitud del

## 6.1.6 Módulo de Rotura de la losa (MR)

establecidas en el proyecto la consideración del diseño es sin efecto de berma. esfuerzo crítico se reduce considerablemente. Para las condiciones particulares

Megaspascal (42 kg/cm²), siguiendo la recomendación de la AASHTO para calles concreto hidraulico, a los veintiacho (28) días de curado controlado en 4.2 Para el diseño del pavimento se estableció el Módulo de Rotura de la losa de urbanas secundarias, como se indica:

Tabla 19. Mádulos de rotura recomendados

Urbanas secundarias	Urbanas principales	Zonas Industriales	Carreteras	Autopistas	Tipo de Pavimento
42.0	45.0	45.0	48.0	48.0	Kg/cm²
597.4	640.1	640.1	682.7	682.7	psi

Fuente AASHTO

## 6.1.7 Módulo de Elasticidad del concreto

que se detalla a continuación: correlacciónes como la sugerida por la AASHTO en función del módulo de rolura y se realiza por la norma ASTM C469, sin embargo su valor se puede estimar mediante Este parametro esta relacionado con la calidad del concreto y su determinación

$$E_c(psi) = 6,750 * MR$$

correspondiente es de 27,905 Megapascal (4,050,000 psi) Para el módulo de rotura asumido de 42 Kg/cm², el módulo de elasticidad

### 6.1.8 Control por Fatiga y Erosión

es aquel que para el cual los valores de consumo por fatiga y consumo por erosión, son inferiores al 100% Conforme a la metodologia aplicada, el espesor de diseño de la losa de concreto,

## 6.1.9 Determinación del espesor de la losa

Cauca, que facilita en forma iterativa la verificación de los consumos de faliga y licencia gratuita, desarrollado por el ingeniero Efraín Solano de la Universidad del relacionados y que se resumen en la tabla 20, se hace uso del software BS-PCA de Para la determinación del espesor de la losa a partir de los parámetros antes



### NÉSTOR CALVO G.

de erosión a partir de los análisis de sensibilidad de los espesores de losas establecidos.

Tabla 20. Valores de parametros para modelación

		ESPESORES (mm)	S (mm)	CONSUMOS TOTALES (%)	TOTALES (%)
DATOS DE ENTRADA	VALOR	SUBBASE	LOSA	ESFUERZO	EROSIÓN
		-			
Módulo de Reacción	56.65	150	150	121.4	9.17
COLLINICAC DASCOLLA	-	-	100	780	1 64
Módulo de Rotura (Mpa)	4.2	150	100	0.04	1.01
Pasadores	SI				
Efecto Bermas	No				
Factor Seguridad Carga	0.1				
Eactor Mayoración	1.2		-		

Fuente: Elaboración propia

mm la cual arroja un consumo total de esfuerzos del 0.84%, y un consumo total por optimizada de 180 mm apoyada sobre un material tipo subbase granular de 150 recomendada por la metodología de la PCA consiste en una losa de espesar esfuerzos y de erosión deben estar por debajo del 100%. erosión de 1.64%. El espesor de losa inicial de concreto propuesto de 150 mm no De acuerdo con los resultados obtenidos la estructura de pavimento satisface los criterios de la PCA, en la que establece que los consumos totales de

## 6.2 Metodología del Instituto Nacional de Vías

más importante que inciden en la determinación de espesores y cualidades de las Tránsito, la cual establece un catálogo de estructuras en función de las variables de Pavimentos de Concreto para Vías con Bajos, Medios y Altos Volúmenes de Esta metodología de diseño empírica tiene como fundamento el Manual de Diseño capas de un pavimento.

Los parámetros de diseño que aborda la metodología se relacionan a

- ⇒ Tránsito y periodo de diseño
- Û Características de resistencia de los suelos de subrasante.
- Tipo de material de soporte para la estructura del pavimento.

£ +57 3007583146

157 3007583146





### NESTOR CALVO G.

- Resistencia a la flexión del concreto a los 28 días (MR).
- Transferencia de carga entre losas y confinamiento lateral.

particular son los que a continuación se describen, Los valores de cada uno de estos parámetros establecidos para este proyecto

#### **6.2.1 TRANSITO DE DISEÑO**

 3.1 dei manual de diseño adjunta, categoriza el transito como TO. se encuentra representada en 328,564 de ejes equivalente, lo cual según la Tabla toneladas en el carril de díseño durante el periodo de diseño de veinte (20) años y considerando el valor del número acumulado de ejes equivalentes de 8.2 Esta variable, de acuerdo con lo establecido en el Capítulo 4 del presente informe

Catagoria	Tipo de Via	11-00
10	(A) - (E)	D & 200
111	(Vs) - (M & A) - (CO)	201 a 500
72	(ND) - (A) - (AP-MC-CC)	601 a 1,300
13	(Mp) - (A) - (AP-MC-CC)	1.001 a 2.500
T4	(Vp) - (A) - (AP-MC-CC)	2.501 a 5.000
15	(vp) - (A) - (AP-MC-CC)	5,001 a 10,000
150	(Np) - (A) - (AP-MC-CC)	8

## **6.2.2 RESISTENCIA DE LA SUBRASANTE**

Dinámico de Cono (PDC), Norma INV-E-172-2013 y/o por intermedio de la 3 según recomendaciones de la AASHTO; estos valores se correlacionan clasificación del tipo de suelo, aspectos estos considerados en nivel de diseño tipo Norma INV-E-148-2013 y/o en forma indirecta a través del ensayo Penetrómetro con base en la Relación de Soporte de California del suelo-CBR, obtenido según la de subrasantes como lo indica la Tabla 3.2, y en la cual su clasificación se efectúa En la metodología de diseño, el referido manual considera cinco (5) tipos de suelos

Clase o Tipo	CBH (%)	Modulo resiliente (kg/cm²)
St	<2	< 200
\$2	2-5	200-500
S3	5-10	500 - 1,000
\$2	20 - 10	1,000-2,000
88	> 20	>2,000

Table 3-2. Clasmicación de la subrasante de acuerdo con su resistencia









posteriormente con el Módulo de Reacción de la Subrasante-K- que es parámetro usado en las ecuaciones de diseño.

El valor de CBR de diseño mejorado de 9,1% para los suelos de subrasante que módulos resilientes entre 500 a 1,000 kg/cm²acuerdo con la metodología de diseño del Instituto clasifica como tipo \$3, para exploraciones el valor medio de resistencia según criterio de la AASHTO 93, y de corresponde a los sectores viales representados en los resultados de las

## 6.2.3 TIPO DE MATERIAL SOPORTE DE LA LOSA

del Instituto versión 2022) y de BEC para base estabilizada con cemento artículos 320 y 330 de las Especificaciones Generales de Construcción de Carreteras Granular, cuando el soporte habilitado es un material granular seleccionados suelo natural (losa apoyada directamente sobre el terreno existente); Base indicadas en la tabla 3.3 del referido manual y hacen referencia, al soporte como bajos, medios y attos volúmenes de tránsito del Instituto Nacional de Vías considera (características de subbase granular y/o base granular, de acuerdo con los tres tipos de soporte para el apoyo de la losa de concreto. Estas se encuentran La metodología del Manual de diseño de pavimentos de concreto para vías con

Denominación	Descripcion
SN	Subrasante Natural
BG	Base Granular
BEC	Base Estabilizada con Cemento

espesor de 0.15 m, es decir que el soporte de apoyo de la losa de concreto losa y contribuir a reducir el fenómeno de erosión. hidráulico es de tipo BG, lo anterior para contribuir a un soporte homogéneo de la un soporte de apoyo constituido por un material tipo subbase granular, en un Para el caso del proyecto, tal como se anotó en el capítulo anterior, se recomienda



## 6.2.4 RESISTENCIA A LA FLEXIÓN DEL CONCRETO

La losa de concreto rígido sometida a la acción del tránsito experimenta esfuerzos de flexión mayores que los de compresión, por ello es necesario conocer la resistencia y la flexión a través del módulo de rotura del concreto (MR). El valor establecido inicialmente para el proyecto es de 4.2 Megapascal.

25	MRA
42	MF33
40	MF22
38	MR1
Resistencia a la flexion (kg/	Descripción

Tabla 3-4. Valores de resistencias a la flexofracción del concreto (Módulo de rotura).

Para el valor de Modulo de Rotura asumido, según la Tabla 3-4 del manual corresponde según la metodología de diseño, la clasificación de este parámetro como MR3 (42 kg/cm² de resistencia a la flexión).

# 6.2.5 TRANSFERENCIA DE CARGA Y CONFINAMIENTO LATERAL

Hay dos factores que influyen en la determinación del espesor de las losas de concreto y son la presencia de dovelas en las juntas de contracción y los confinamientos laterales que se establezcan en el pavimento.

La transferencia de carga es la aptitud de una junta para transmitir parte de la carga aplicada a una losa contigua, permitiendo reducir significativamente las tensiones y deflexiones generadas por acción de las solicitaciones. La misma puede efectuarse a través de las juntas transversales y los bordes de la calzada. Para este proyecto se asume la instalación de pasadores en acero (dovelas) para las juntas transversales y para los bordes confinamiento por intermedio de bordillos. Por la tanto, en los catálogos de diseño, se escoge la opción de **Dy no B**.

## 6.2.6 DETERMINACION DEL ESPESOR DE LA LOSA

Para la determinación del espesor de la losa de concreto, a partir de las variables antes establecidas, se hizo uso del catálogo de diseño de la tabla 4.1, para transito seleccionado 10 y el cual para una condición de apoyo de la losa del pavimento como 8G, una capacidad de soporte del suelo de subrasante \$3 y a la presencia



de utilización de dovelas, así como una resistencia a la flexión del tipo MR3, el espesor de diseño de la losa corresponde a 0.22 m.

	縣	M				1			關				
MIN	1993	them	13911	MRA	STANT I	Dan	HAPA B	1471	Elers.	1492	HINN		
												0 18 Dy	
16	17.5	19	100	200		×	12	27	27		24	A COM	
200	25	16	27	23	22.	23	28	24	35	77	24	A COL	
198	i de	40	Tip.	180	100	1	1	100	21	N	10	Dys	
50	20	Ŋ	13	13	2	Si.	Tr.	22	8	26	44	Pay B	
1840	10	tij	10	19	18	4	N	20	21	222	2	y GOD	
10	71	25	100	39	¥	N.	26	100	188	86	N	No D	
E.	17	7	16	26	2%	8	23	10	8	20	9	BYD	
69	7.9	30	21	27	13	3	2	200	123	2	24	10 g	
	17	5	di	16	19	13	21	3	8	8	27	Y B	
111	100	8	21	227	13	8	24	25	13	2	2	Y w D	
98	16		100	19	10	10	la Cr	100	5.74	M	4	010	
馬	79	8	18	120	12	125	12	97	10	To the	7	a or	
17	57	7	10	10	19	4	8	16	19	器	8	Y R	が開発し
の変	19	100	18	188	100	相	ta.	24	20	100	×	No.D	
F	16	17	17	4	76	10	8	15	10	18	8	Bytt	
16	15	10	18	26	10	3	22	278	25	23	23	TOY I	
	4	17	12	čë.	15	\$	8	Δi.	10	15	8	A SA	
9.0	19	69	86	Z	77	12	25	62	23	22	13	y was	

En la labla de diseño, se puede observar que la utilización de una base estabilizada con cemento (BEC) arrojaría un espesor de losa de 0.19 m. Hay que tener presente que, en la guía de diseño del Instituto, el espesor considerado como material de soporte es siempre de 150 mm, por lo que su sensibilidad al aumentar dicho espesor, no se refleja en el espesor de diseño de la losa, como si sucede en la metodología de la PCA.

El resumen de los espesores de diseño de losa de concreto hidráulico referente a las dos metodologías considera los siguientes resultados:

Tabla 21. Resumen de espesores de diseño

Base estabilizada	190	N. S.
Dovela y no berma	220	SVICTIVI
Sin bermas	180	3
Sin bermas	150	BC A
Observaciones	Espesor inicial propuesto (mm)	Metodología

Fuente: Elaboración propia

**2** +57 3057583146



nestorcalvaguzman@yahoo.cor

**2** +57 3007583146

nestorcalvoguzman@yahac.com



## 6.3 Metodología de Elementos Finitos

Para simular la respuesta de los sistemas de pavimento de hormigón articulado sometidos a carga por eje y efectos ambientales, especialmente lo que se relaciona con los gradientes térmicos positivos y negativos y sus efectos en el comportamiento de la estructura, la herramienta de análisis de elementos finitos en 3D, Everfe 2.26 desarrollado por el profesor Bill Davids de la Universidad de Maine, se convierte en un poderoso soporte para la torna de decisiones.

Tabla 22. Paiámetros de entrada EverFe 2.26

	Of BOOK
Longitud losa	mm
Ancho losa	mm
Espesor losa	mm
Esviaje junta	°C
Espesor subbase granular	mm
Mádulo Elasticidad concreto	Мра
Relación de Poisson concreto	~
Coeficiente dilatación	1/°C
Densidad del concreto	Kg/m3
Módulo de la subbase	Mpa
Relación Poisson subbase	τ .
Módulo reacción subrasante	Mpa/mm
Carga eje SRD	Ž
Diferencial de l'emperatura	ిం
Diámetro dovelas	pulgadas
Diámetro acero junta longitudinal	pulgadas

vente: Elaboración propia

De acuerdo con las simulaciones efectuadas para los gradientes de temperatura positiva (alabeo convexo de la losa) y negativo (alabeo cóncavo de la losa) los esfuerzos combinados de carga y temperatura en las posiciones críticas de actuación de la carga para espesores de losa de 180 mm y 200 mm se muestran en la tabla adjunta



l'abla 23. Esfuerzos y deflexiones en losa de espesor 180 mm

		dient			9	diente N
doine	[]=35°C	°C 12=26°C	3°C		11=26°	T1=26°C
carga	Tracción (Mpa)	Compresión (Mpa)	Deflexiones (mm)	Iro Orl	Tracción (Mpa)	cción Compresión Deflexiones (pa) (Mpa) (mm)
Borde	+2.74	-2.91	0.38		,	
Esquina	Esquina -				+1.53	+1.53 -1.65

Fuente: Elaboración propia

l'abla 24. Esfuerzos y deflexiones en losa de espesor 200 mm

		Gradiente Positiva	Č	G	Gradiente Negativ	ivo
	[1=35°C	°C 12±26°C	,°C	Ti=26°C	°C 12=35°C	35°C
r'osiciones	Tracción	Compresión	Deflexiones	Iracción	Compresión Deflexione	Deflexic
carga	(Mpa)	(Mpa)	(ram)	(Mpa)	(Mpa)	(mm
Borde	+2.42	-2.58	0.367			
Esquina	,			+1.36	-1.56	0.342

Fuente: Elaboración propia

En la literatura distintos autores han propuestos modelos de fatiga que permiten establecer el número de repeticiones de carga  $\{N_i\}$  para determinar la vida útil de un pavimento rígido. Estas propuestas utilizan como variable la razón de esfuerzo  $\{\sigma/MR\}$ , donde  $\sigma$  es el esfuerzo cíclico aplicado y MR es la móxima resistencia a la flexión estática.

En este caso particular, se han tomado como referencia los modelos de fatlga de diseño cero-mantención desarrollado por Darter y Barenberg (1976, 1977); el modelo de fatiga diseño mecanicista calibrado y el modelo de deterioro de Vesic y Saxena (1989) basado en la pista de prueba AASHTO usando un índice de serviciabilidad como criterio de falla. Las ecuaciones de esos modelos se describen a continuación,

#### Cero Mantención

$$\log N_f = 16.61 - 17.61 (\frac{\sigma}{MR})$$



Mecanicista calibrado

$$\log N_f = \left[ \frac{-\left(\frac{\sigma}{MR}\right)^{-5.367} \log\left(1 - P\right)}{0.0032} \right]^{0.2277}$$

Deterioro de Vesic y Saxena

$$N_{f} = 225,000 \left(\frac{\sigma}{MR}\right)^{-4}$$

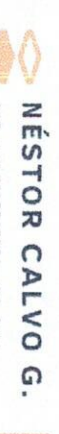
la fabla siguiente: Los resultados de la aplicación de los anteriores modelos de fatiga se adjuntan en

Tabla 25. Resultados de modelos de falla

	Repeticione	Repeticiones admisibles	Repeticiones
Modelo de Iuliga	Espesores pro	Espesores propuestos (mm)	esperadas de 80 kn
	180	200	
Cera Mantención	132,304	2,905,934	328,564
Mecanicista calibrado	54,917	328,198	328,564
Deterioro Vesic	1,242,160	2,041,353	328,564

Fuente: Elaboración propia

corredores viales referidos en el alcance de 200 milímetros. Consultoria, recomienda establecer un espesor de diseño definitivo para los en el factor de seguridad a la fatiga es prácticamente igual a 1.0; por lo que esta para un período de 20 años, a excepción del modelo mecanicista calibrado, que admisibles son muchos mayores que las repeticiones esperadas de ejes de 80 kn, sin embargo, para un espesor de losa de 200 mm, se cumple que las repeliciones admisibles en dos de los tres modelos de falla se encuentran por debajo de las Como puede observarse, para un espesor de losa 180 mm, las repeticiones repeticiones esperadas, lo que la probabilidad de talla por tatiga es significativa;



## 7. FUENTES DE MATERIALES Y CARACTERIZACIÓN

requeilmientos legales que en la actualidad exigen las entidades del estado. hidráulico deben contar con los registros mineros y ambientales según los Las fuentes de materiales a ser utilizadas para la construcción del pavimento

a una distancia aproximada de 102 kilómetros del proyecto. la cantera de la firma de Grodco, en inmediaciones del corregimiento de Mongu distancia de acarreo aproximada a 65 kilómetros del casco urbano del municipio; cantera de Agregom, localizada en el corregimiento de Cuestecitas a una Maicao-Paradero, a una distancia aproximada de 35 kilórnetros del proyecto; la de fuentes de materiales como las localizadas en la zona de Porciosa, en la vía solicitados para la elaboración de los concretos hidráulicos, se tiene conocimiento seleccionados, afirmados subbase y/o base granular, así como de los materiales Para el caso particular de los materiales requeridos para la construcción de rellenos

## 7.1 MATERIAL DE RELLENO SELECCIONADO

recomienda la utilización de materiales seleccionados que cumplan los requisitos recomienda la utilización de materiales con CBR mínimo del 10% 2022. Aunque la especificación establece un valor de CBR ≥ 5%, esta Consultaría Específicaciones Generales de Construcción del Instituto Nacional de Vías versión de calidad especificados en el numeral 220.2.2.1 del Artículo 220 de las se encuentran en la superficie existente de los corredores vidtes del proyecto, se Para el reemplazo de los depósitos de los residuos de materiales de demolición que

gruesos de rellenos, estas deben construirse en capas máxima de espesores de 0.15 el numeral 220.4 Ejecución de los trabajos, así mismo, en el caso de espesores Dentro del proceso constructivo, es importante tener en cuenta lo establecido en

## 7.2 MATERIAL DE SUBBASE GRANULAR

de calidad; estas características principales se adjuntan en las tablas siguientes: contratista, independiente que el proveedor del insumo certifique la procedencia se solicitan en el Artículo 320-2022 de las Especificaciones Generales de Construcción de Carreteras y deben ser validados en su integridad por la firma Los materiales de subbase deben cumplir los requisitos de gradación y calidad que

(





LN	
	Clase 8
NT3	Clase A
Nivel de tránsito	Clase de subbase granular

granular recomendada es la de tipo Clase C y su franja granulométrica debe de las Especificaciones antes mencionada, corresponder a algunas de los dos tipos exigidos en la tabla 320-3 del Artículo 320 Según el nivel de tránsito de estas calles y/o vías locales, la clase de subbase

Tolerancias en producción sobre la fórmula de trabajo (±)	SBG-38 (Nota)	SBG-50 (Nota)		gradacion	1	
0 %		100		2 Pulgadas	50.0	
	100	70 - 95		2 11½ 1 1/2 3/8 Pulgadas Pulgada Pulgada Pulgada	37,5	
7 %	75 - 95	70 - 95   60 - 90   45 - 75   40 - 70   25 - 55   15 - 40   6 - 25   2 - 15		Pulgada	25,0	
4	75 - 95 55 - 65 45 - 75 30 - 60 20 - 45 8 - 30 2 - 15	45 - 75	Pas	1/2 Pulgada	12.5	Tamiz (mo
	15-75	40 - 70	Pesa tamiz (%)	3/8 Pulgada	10.01	Tamiz (mm / U.S. Standard)
	30-60	25 - 55	2		4,75	andard)
Ф %	20 - 45	15 - 40		Nro. 4 Nro. 10 Nro. 40 Nro. 200	2,00	
	6 - 30	6 - 25		N70, 40	0,425	
ω \$	2-15	2-16		Nrp. 200	0.075	

citado Artículo y deben ser aprobado previamente por la firma interventora. Los requerimientos de calidad se ciñen a lo establecidos en la tabla 320-2 del





Caracteristica	Norma de ansayo RVV	Clade A	Subbase granular Clase B	Clase C
Dureza (O)				
Despaste en la méquina de Los Angeles (Oranulomatría A), máximo (%); - 500 revoluciones	m 22 780	50	50	50
Degradación por abrasión en el aquipo Micro-Deval, máximo (%).	£.238	30	e e	
Durabilidad (O)				
Pérdidas en ensayo de solidez en sulfatos, máximo (%), (Notal) Sulfato de solide - Sulfato de solide - Sulfato de mapresilo - Sulfato de mapresilo	€-220	# # # # # # # # # # # # # # # # # # #	ಹೆಸ	# 13
Limoleza (F)				
Limite liquido, máximo (%).	€-125	26	25	26
Indice de Plasticidad, máximo (36).	E-125 y E-126	tts	OI.	th th
Equivalente de arena, mínimo (%).	E-133	25	12 05	22.00
Contenido de terrones de arcilía y particulas deleznables, máximo (96).	£-211	ю	10	10
Resistencia del material (F)				
CBR (%); concentaje asociado al valor mínimo especificado de la cientidad seca, medido en una muestra comedida a cuatro dise (4 d) de inmersión, mismo.	m -1- 44- 90	40	30	30

para el recibo de estos por parte de la interventoría deben ajustarse a los lo establecido en el numeral 320.4 de la citada Especificación y las condiciones requerimientos del numeral 320.5 de la referida Especificación. La ejecución de los trabajos en la construcción de esta actividad debe ceñirse a

## 7.3 AGREGADOS PARA CONCRETO HIDRAULICO

interventora y/o supervisión de los trabajos. certificado por el proveedor a efectos de su aprobación por parte de la firma El cemento gris por utilizar debe ser de procedencia nacional y debidamente certificaciones de calidad que pueda presentar el proveedor de dichos materiales. en igual sentido deben ser validados por la firma contratista, independiente de las Artículo 500-22 de la Especificaciones Generales de Construcción de Carreteras y éstos deben satisfacer a plenitud los requerimientos de calidad establecidos en el Para los materiales a ser utilizados en la elaboración de los concretos hidráulicos,

material triturado) se tienen los siguientes: Dentro de los principales requerimientos a verificar en los agregados (arena y

**\*57 3007583146** Riohacha, La Guajira

K

♣ +57 3607583146

#### 7.3.1 AGREGADO FINO

Construcción de Carreteras 2022, como se muestran cumplir los requisitos de la tabla 630-2 y 630-1 de las Especificaciones Generales de La franja granulométrica, así como los requisitos de calidad del agregado fino debe

		-	
		١	
Services statement	TAME SOO	-	
	1	1	
		ĵ	
		1	
	۵	١	
	3	1	
	ā	1	
	÷	- 1	
		1	
	2	1	
		- 1	
		1	
	0		
	0	3	
	ä		
	E		
		-	
	6	3	
	ř	,	
		>	
	ě	3	
	3	á.	
		3	
	3		
	3	17	
		3	
		K,	
		÷	
	1	3	
	3	7	

3 100 85 - 100 80 - 100		de gradación Sulgaca No 4	9,5 4,75	
80 100		Nr5. 8	2,50	200
50 - 86 25 - 60	Pasa tamiz (%)	Nrp. 16	1,10	4 4 5
25 60	(a/c)	Nro. 30	-	0000
5-30		Nro. 50		0.300
5-30 0-10		Nrp. 100		0,150
(Nota 1 y	100 TO 10	Nro. 200		0,0/0

Nota 1: para contratos que no esten admetidos is abrat (nic. 200) debe ser de máximo cinco por ciemo (5 %).

Note 2: pare finds obtavidos de tritudo én u otros agregados recidados, si el material más tino que el tamis de 0,875 mm nino. (100) compuesto de polho de tritundorio, esencialmente flore de arcibas o esquistos, este limite puede ser cano por ciento (5 %) para concretos somestidas e abassión y materia sete por ciente (7 %) para concretos no sujetos e abroción.

Corneladistical	Norma de ensayo	Requisito
Composición		
Granulometrie: - Análisis granulométrico de los agregados finos	m m 212	Ver Tabla 630 — 2
Makerjal que pasa tarina de con o	E-213	2,3 - 3,1
Durabilidad (O)		
Pérdidas en el ensayo de solidez en sulfatos, máximo (%.: (Nota 2): - Sulfato de sodio - Sulfato de magnesio	£-220	16
Limpieza (F)		The second secon
Terrones de arcilla y particulas deleznables, máximo (36), (Nota 3)	E-211	
Particulas Ilvianas, máximo (%): - Cupndo :a opariencia superficial del concreto sea de importancia, máximo (%) - máximo (%) - moreo los demás concretos, máximo (%)	E-221	1.0
Contenido de materia orgánica (F)		2 2 2 2 2 2 2 2 2 2 2 2 2 2 2 2 2 2 2 2
Color más oscuro permisible	E-212	referencia o de la placa orgánica nro. 3



#### 7.3.2 AGREGADO GRUESO

continuación se indican: requisitos de calidad estarán enmarcados en los requerimientos establecidos en las ser proveniente de producto de trituración y sus características de gradación y Deniro de los principales aspectos a verificar de este tipo de material, es que debe tablas 500-1 y 500-2 del Artículo 500-22 de las referidas Especificaciones y que a

	Tip.			å G		AG-2		4G-3	AG-4	AG-5	4G-6	NG-7	Š
	Tipo de gradación		INVIAS	Fracción 1: 2 pulgadas a 1 pulgada	Fracción 2: 1 pulgada 2 nro.4	Fracción 1: 11/4 pulgadas a 34 pulgada	Fracción 2: % pulgada a nro. 4	1 pulgada a nro 4	2 pulgadas a nro. 4	n/6. 4	1 pulgada a 1/2 pulgada 1	n 3/8 puigada	34 puigada a 3/8 puigada
	ò	ASTM	Cas	ω	57	4	67	57	357	467	ÇN	56	6
	63.0	2 1/2 Pulgadas		900		•			100	,	,		
	50,0	2 Puigadas		90 - 100		-90			95 - 100	100	,	,	¥.
19	37.5	Pulgadas		35 - 70	190	90 - 100 20 - 56	,	100		95 - 100	190	100	,
niz (mm /	25,0	1 Pulgada	Pasa t	100	95 - 100	20 - 56	98	95-100	35 - 70	*	90 - 100	90 100	00
Tamiz (mm / U.S. Standard)	19,0	3/4 Pulgada	Pasa tamiz (%)			0 1 16	90 - 100			35 - 70	20 - 65	40 - 86	90 - 100
dard)	12,0	Pulpada Pulpada		0 1 5	25 - 60			25 - 60	10 - 30		0-10	10 - 40	20 - 55
	9	3/B Pulgada				0 1 5	1 55			70 - 30	0	0 16	0 1 3
	4,70	Nro. 4			0 - 10		0-10	0-10	0	0 1	1	0 1	010
	230	0 o	1000		0 + 5	,	0 - 5	0 1 5	T	-			



Característica	Norma de ensayo MV	Requisito
Dureza (O)		
Desgaste en la maquina de Los Árgeles, máximo (%) - 500 revoluciones - 100 revoluciones	m 10	œ 45
Degradación por abrasión en el eculpo Miloro-Deval, máxano (%).	E-238	30
Hesistencia mecanica por el método del 10 % de finos. - Valor en secci, mínimo (kN) - Rejación húmedo/seco, mínimo (%)	E-224	90
Durabilidad (O)		
Perdidas en el ensayo de solidez en sultatos, máximo (%); - Sulfato de sodio - Sulfato de magnesio	E-220	នី សី
Limpleza (F)		
Terrones de arcilla y particulas delegnables, maximo (%)	E-211	w
Particulas Irvianas, maximo (%),	E-221	0,5
Caracteristics	Norma de ensayo INV	Requisito
Geometría de las particulas (F)		
Particulas tracturadas medánicamente (una cara), mísimo (%).	E-22"	90
ndice de alargamiento, máximo (%).	E-230	25
ndice de aplanamiento, máximo (%).	E-230	25
Características químicas (O)		
Proporción de sulfatos del material combinado, expresado memo SO - máximo (%).	E-233	1,0

Es importante señalar que la verificación de estos requisitos de calidad lo adelanten auditados por firmas especializadas para tai fin. laboratorios certificados con registros de calibración de sus equipos actualizados y

## 7.3.3 DISEÑOS DE MEZCLAS A LA FLEXO TRACCIÓN

de los trabajos debe adelantar el diseño de la mezcla a la flexo-tracción de normados en el numeral 500.4.3 del Articulo 500-22, de las Especificaciones ser curadas a los 7, 14 y 28 días a fin de verificar el asentamiento y resistencia acuerdo a la norma INV-E-414-2013, mediante la utilización de viguetas que deben Generales de Construcción de Carreteras del Instituto Nacional de Vías. expresada en su valor de módulo de rotura a los 28 días y siguiendo los lineamientos Con el fin de cumplir con la hipátesis de diseño, el contratista antes de la ejecución



materiales aprobados para la construcción de las losas. Así mismo, dentro del por intermedio de su resistencia a la comprensión, de acuerdo con la formulación regulado en el numeral 500.4.5.3.2.1 del Articulo 500-22, con el fin de establecer de la mezcla a la resistencia a la compresión a los 28 días, según procedimiento proceso del diseño de la mezcla, se puede adelantar simultáneamente el diseño El interventor deberá verificar que las mezclas de prueba se realicen con los que establece la ACI: y poder justificar el proceso de control de calidad de la resistencia de los concretos para los materiales utilizados el factor de correlación de los dos tipos de resistencias

$$MR = K\sqrt{f'c}$$

Donde.

MR = Módulo de Rotura a los 28 dias (psi)

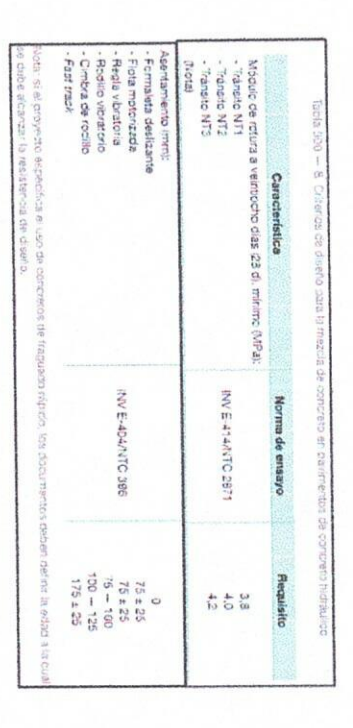
f'c = Resistencia a la compresión a los 28 días (psi)

hidráulico utilizado en obra para ir verificando la confiabilidad. el proceso de control de calidad en la elaboración y suministro del concreto resistencia en términos de su flexo-tracción, Independiente de este procedimiento, días y con la expresión antes relacionada verificar la correspondencia con su el interventor deberá realizar en forma aleatoria la elaboración de viguetas durante toma de cilindros para la determinación de la resistencia a la compresión a los 28 en el laboratorio, el interventor podrá utilizar durante la ejecución de los trabajos la Una vez obtenido el valor de K en los diseños de mezclas respectivos adelantados

diseño de la estructura. lo solicitado por la PCA y la AASHTO y con el cual se adelantó la modelación del concreta una resistencia a la flexión tracción de 4.2 Mpa, valor éste coherente con es de 3.8 Mpa, sin embargo, para el proyecto esta Consultoría propone para el para el tipo de tránsito, según la tabla 100-1 del Artículo 100 de las Especificaciones Según los requisitos de diseño de la tabla 500-8, el módulo de rotura de la mezcla Generales de Construcción de Carreteras del Instituto Nacional de Vías versión 2022

(





Es importante que, dentro del desarrollo del proceso constructivo, tanto el contratista como la interventaria y con la vigilancia de la supervisión por parte de Especificaciones y adjunta al presente informe, con las frecuencias mínimas que se salicitan en la tabla 500-9 de las la entidad contratante se lleve un registro de los ensayos de control de calidad,



Característica	Norma de ensayo	Frequencia
Composición (F)		
Granulonistra	INV E-213	1 por jornada
Módulo de finura	INVE-213	1 por jornada
Dureza, agregado grueso (O)		
Desgaste en la máquina de Los Ángeles	JNV E-218	1 por nes
Degradación por abrasión en el equipo Micro-Deval	IVA E-539	1 por mes
Resistencia mecánica por el método del 10 % de finos - Seco y húmedo	INV E-224	1 por mes
Durabilidad (O)		
Pérdidas en ensayo de solidez en sulfatos (o magnesia)	INV E-220	1 por mes
Reactividud de los agregados	Ver numeral 630.5.1.4 del artículo 630	Tabla 630 — 17
Limpieza (F)		
impurezzo en agregado grueso	11-V E-237	1 por semana
Temphes de arcilia y portículas deleznables	IIV E-211	1 por semena
Particulas liveras	NVE-221	<ul> <li>a) nicio del proyecto.</li> <li>1 cada cambro de fuente y 1 cada 2 6 meses</li> </ul>
Material que pasa el tamiz de 0,075 mm (hrp. 200)	INV E-214	1 por semana
Geometria de las particulas (F)		
Particulas fracturadas mecánicamente	INV E-227	1 por jornada
indice de alargamiento y aplanamiento	INV E-230	1 por semana

que se establecen en el numeral 500.5.2.8.1 del Artículo 500-22 de dichas Especificaciones. Para la evaluación del parámetro de resistencia se deben seguir los lineamientos

aturante la puesta en obra, así como a su proceso de curado, tal como se solicita de la mezcla en servicio. en el numeral 500.4.6.9 que pueden incidir en los valores de resistencias a obtener En igual sentido se debe prestor suma atención a la protección del concreto fresco



### 8. MODULACIÓN DE LOSAS

La modulación de losas define la forma que tendrán los tableros de losas del pavimento y va a estar regida por las distancias de separación de las juntas transversales que a su vez depende del espesor del pavimento.

Existen criterios que permite dimensionar los tableros de losas para inducir el agrietamiento controlado bajo los cortes de losas, entre los que se tienen:

### a) En función del espesor de losa

La Portland Cemment Association establece la separación de juntas transversales entre 21 y 24 veces el espesor de la losa, sin que ese espaciamiento de juntas no exceda los 4,5 m, tal como lo estipula la Norma ACI 360 en el Capítulo 5-2, actualizando la anterior versión de 1992 de dicho documento.

Normalmente se utiliza el valor de 21, para losas de concreto apoyadas sobre subbases y/o bases estabilizadas y en la cual se genera mayor fricción, y 24 cuando las losas van a estar soportadas directamente por subbases y/o bases granulares. El Instituto Nacional de Vías recomienda los rangos entre 20 y 25 veces el espesor de la losa.

## b) En función de la Relación de Esbeltez

La experiencia e investigaciones han demostrado un mejor comportamiento de los losas cuando su configuración modular es cuadrada, es por ello por lo que, bajo ese criterio, se establece relaciones entre su longitud y ancho como la recomendada por el Instituto Nacional de Vías y que se indica

En eşte criterio, el ancho del carril, normalmente se encuentra predefinido en el provecto.

### c) Criterio de Rigidez Relativa

Es un concepto introducido por Westergaard que relaciona la rigidez de la losa de concreto con la rigidez de la subrasante sobre la cual se encuentra apoyada y expresado mediante la siguiente formulación.











Donde:

l == Radio de Rigidez Relativo

E = Módulo de Elasticidad del Concreto

d = Espesor de losa

 $\mu = Relación de Poissón$ 

k = Módulo de reación de la subrasante

La longitud de la losa (L) tiene estrecha relación con el incremento de los esfuerzos por alabeo debido a los gradientes térmicos (efecto de las temperaturas). El valor L/I debe oscitar entre 4 y 5.5 correspondiendo el menor valor a gradientes térmicos grandes, mientras que el mayor valor a menores gradientes térmicos. La PCA en su programa de diseño incorpora una relación de 5.5, valor éste que está del lado de la seguridad para gradientes térmicos menores a 20°C. Cuando la relación L/I, es mucho mayor que 5.5, la fisuración transversal de la losa ocurre más frecuente.

### d) Criterio de Longitud máxima

Con el fin de reducir los problemas potenciales de fisuramientos asociados a la contracción del concreto, la PCA recomienda longitudes máximas de losa de 4.5 metros, mientras que el Instituto Nacional de Vías considera longitudes mayores a 3.60 m y menores a 5.0 metros.

La definición para la selección de la longitud de la losa va a depender del buen juício y experiencia del Consultor, así como de comportamientos de modulaciones en estructuras de pavimentos en zonas de influencia del proyecto.

Para las condiciones iniciales del proyecto correspondientes a un ancho de carril de 3,5 m; espesor de losa de 0,20 m, módulo de reacción del conjunto de 56,65 Mpa/m, módulo de elasticidad del concreto de 4,050,00 psi y relación de Poissón de 0,15, los resultados de los criterios se muestran en la tabla adjunta,

#### Tabla 22. Longitud de Losa

4 d)	3	And the second s	0		Citerio No. Literal
390	270	390	400	300	Fouding Crit

Fuente: Elaboración propia

y ancho =  $3.5 \, \text{m}$ . La modulación recomendada por esta Consultoría corresponde a longitud= 3.9 m

establecidas) y/o relaciones de L/I se encuentre por encima de 5.50, se En el evento de modulación de losas irregulares (por fuera de las dimensiones con el fin de minimizar la aparición de fisuramiento por la retracción del concreto. del espesor de la losa, medido desde la superficie de la losa hacia el eje neutro, doble sentido con separación de 0.30 m y colocada a una profundidad en el tercio recomienda la colocación de malla electrosoldada y/o parrilla de acero de ½" en

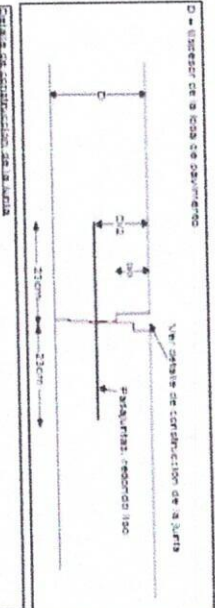
#### 8.1 DISEÑOS DE JUNTAS

## 8.1.1 Juntas Transversales de contracción

cambios de humedad y temperatura (alabeo). La configuración de este tipo de espaciadas para controlar la fisuración generada por la retracción y por los transversalmente a la línea central del pavimento y están debidamente Las juntas transversales de contracción son aquellas que se construyen junta se ilustra a continuación



### NÉSTOR CALVO G.





separadas centro a centros 300 mm, como lo indica la tabla 6.2 del Manual del espesor de losa de entre 190 a 200 mm, la longitud y el diámetro de las dovelas En las juntas transversales, según recomendaciones del manual y para un longitud, fy = 60.000 pst, engrasadas para permitir los movimientos de la losa y (pasadores) a colocar la constituyen varillas lisas de 25.0 mm [1"), de 0.35 m de

	Diámetro del pasador	pasador	Longitud	entre centro
del pavimento		7 1965		
Section of the least of the lea	El Sinceron accompany	5/2	250	300
000 - 000	18	5/8	300	300
1 - 0 - 100	-		350	300
740 - 100	10		and the second s	COS
180 - 180	33	7/8	350	300
005 = 001	25		360	300
020 - 020	26	1 1/3	400	300
0.00	-		223	COS
240 - 250	322	3 1/4	450	400
260 - 280	36	1 3/8	450	300
290 - 300	货	5 1/2	600	300

con un material antiadherente, con el propósito de no restringir los Es importante anotar, que la longitud total de las dovetas debe estar cubiertas pasadores deben ser protegidos con una película anticorrosiva, tal como lo desplazamientos horizontales de las losas. Así mismo, previamente los longitudinal de la vía. señala el numeral 500.2.2.2 del Articulo 500-22. Estos pasadores deben colocarse en la mitad del espesor de las lasas, paraletos entre sí, al eje

extremos, debe llevar una soldadura de arco y el otro sin ningún tipo de soldadura. El ancho de la canastilla será ajustado a la sección del pavimento. de canastas pasajuntas con atiesadores de 3/16", en el cual, en unos de sus Para garantizar una adecuación colocación de las dovelas se recomienda el uso

## 8.1.2 Juntas Longitudinales de construcción

longitudinales de construcción se realizan cuando se emplean dos franjas de Estas juntas se deben localizar y construir en el lugar planeado. Las juntas

de concreto del Instituto Nacional de Vías de 1200 mm, según se establece en la tabla 6.1 del referido manual de pavimentos de 12.7 mm (1%) de 0.85 m, de longitud y colocadas a una separación entre centros juntas longitudinales, como mínimo, son varillas de acero corrugado fy =  $60.000 \, \mathrm{psi}$ , el proyecto de 3,50 m, se determina que las barras de anclaje a colocarse en las Según el espesor de la losa de 200 mm y un ancho de carril máximo propuesto para



175 C./C 0.60 0.6h 1.20 1.10	CSC 0.75 C.66 1.20	Acero de ty 187,5 MPa (40,000 pal)	100 330 300 300 300 300 500 101 101 101 101 101 101 101 101 1		Barras do é 9,5 mm (3/8") Barras de è 12,7 mm (1/2")
1.00	129	8	15	ī. 1	
120 1,00	1	1	100 PM		
1	1	1	35		

(Tipo A), es como se ilustra, La configuración de las juntas longitudinales de construcción con barras de amaire

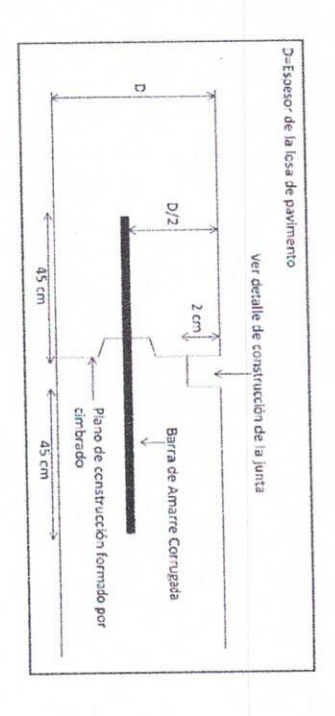
Tubia 6-1. Recome

dación para las barras de anclaje

0.76 0.60 0.60

12

8 8



+57 3007583146

K

157 3007583146



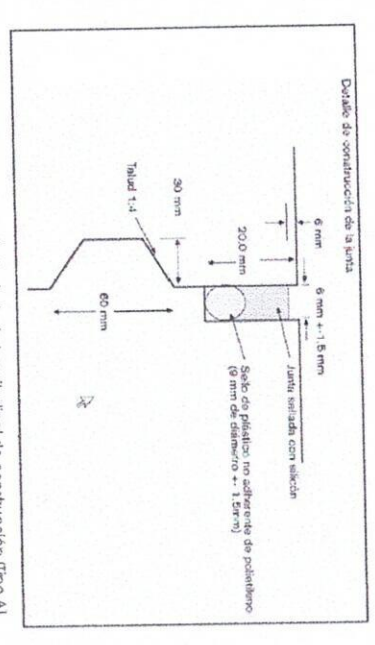


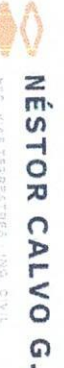
ilustración 16. Corte y sellado de Junta Longitudinal de construcción (Tipo A)

#### 8.1.3 Juntas de Expansión

pavimento que se construye. Así mismo, se deben utilizar donde se presenten sumideros y otras estructuras que presenten diferente comportamiento al Sólo son necesarias alrededor de estructuras fijas, como son las cajas de inspección, cambios de dirección de la vía e intersecciones con otros pavimentos.

un 20% para absorber los esfuerzos de borde ocasionados por el tráfico. expansión, en la cual se aumenta el espesor de las losos en el sitio de empalme en empalmar con uno existente, se recomienda la construcción de juntas de Al comienzo y al final de la calzada a rehabilitar, en donde el pavimento llegue a

o no de la transferencia de carga. En los casos donde se presentan variaciones de El propósito de una junta de expansión determina, de alguna manera, la necesidad dirección de la vía, una empujará a la otra, productiendose esfuerzos, que deben engrasadas para facilitar el movimiento. Las dimensiones más comunes de estas observa en la figura siguiente, ubicadas en la mitad de la losa, totalmente transferencia de carga y la eficiencia de la junta, se deben usar dovelas como se ser controlados con la ayuda de juntas de expansión. Con el fin de incrementar la separación entre varillas de 300 mm. Para este tipo de juntas, se pone un material varillas son: diámetro de 1/8" del espesor de la lasa, 450 mm de longitud y con



expandido). compresible que llene el espacio entre las caras de las losas (poliestireno

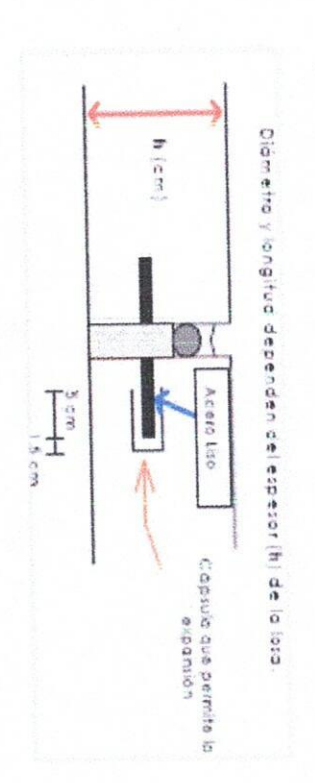
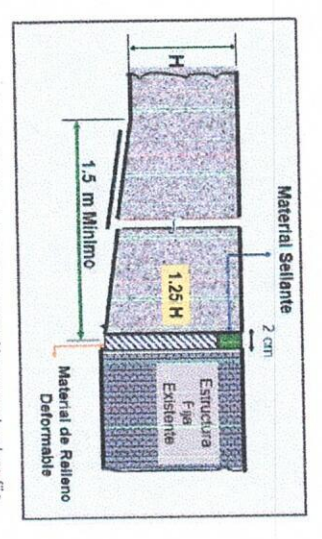


Ilustración 17. Junta de expansión con dovela

de expansión, tal como se detalla a continuación: obras de drenajes existentes, caso de box-coulvert, se debe proyectar una junta Para el caso, de empalmes de las losas de concreto con estructuras fijas como



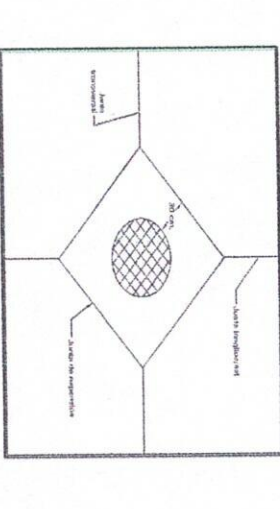
llustración 18. Detalle de junta de expansión con estructura fija



### NÉSTOR CALVO G

longitud de transición del espesor debe ser como mínimo de 1.50 m. esfuerzos de borde generados por el tráfico sobre esa zona. Es de anotar que esa espesar final sobre la estructura fija, a fin de contribuir a la disminución de los En donde H, representa el espesor de diseño de la losa y 1.25 H, el incremento de

junta de expansión, la cual debe ser ubicada de acuerdo como se indica, sobre el eje de la calzada, para lo cual, en igual sentido se debe proyectar una Otra situación, muy común, es la presencia de manholes o pozos de alcantarillado



llustración 19. Detalle de junta de expansión sabre manholes

adelantar para losas irregulares que no se ajusten a la modulación diseñada. En los cada 0.30 m en ambos sentidos respectivamente, Igual tratamiento se recomienda la y/o losas que la contengan debe ser reforzada, según el criterio adjunto eventos, que la disposición de los manholes, se encuentren sobre el ancho del carril provista de una doble parilla de refuerzo, constituida por varillas de  $extit{\%}^*$  separadas Alrededor de esa estructura, se recomienda que la losa de concreto debe ser

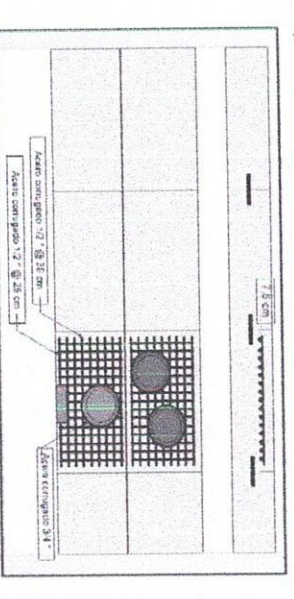
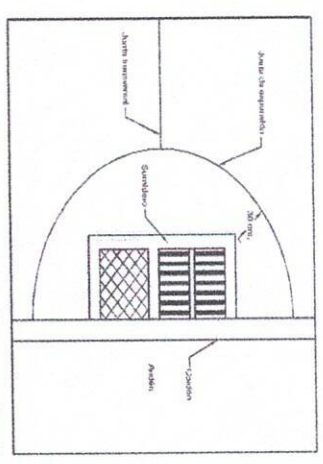


Ilustración 20. Detalle de refuerzo sobre grupos de manholes



la junta de expansión debe acogerse al siguiente diseño: Para situaciones de proyección de sumideros o rejillas de drenaje, la distribución de



llustración 21. Detalle de junta de expansión en zonas de rejillas

# 8.1.4 Recomendaciones para el corte y sellado de Juntas

propicias para su ejecución y antes de que se produzcan agrietamientos no realizarse cuando el concreto presente las condiciones de endurecimientos inmediatamente después continuar con las longitudinales. Este corte deberá cortes en seco, o con discos de diamante que se refrigeren con agua. El corte de las juntas transversales y longitudinales, con discos adecuados para realizar los Después de aplicarla membrana de curado de las losas, se procederá al corte de controlados. las juntas deberá comenzar por las transversales de contracción, e

espesor de la losa de concreto con el fin de inducir la falla controlada. material de sello. Posteriormente se realiza un ensanchamiento del corte para poder alojar el Se realizará un corte inicial con un ancho de 3 mm y a una profundidad de 1/3 del

posteriormente realizar el corte de las intermedias, el segundo corte, o sea el de las efectuar los cortes cada dos juntas, dejando las juntas intermedias sin cartar para En el caso de que se requiera realizar los cortes de juntas en dos etapas, es decir, alto riesgo de fisuración antes de las 24 horas iniermedias, deberá realizarse antes de 48 horas después del colado y si existe un

\*57 3037583146

nestorcalvaguzman@yahoo.com



chorro de arena y aire a presión, los cuales deberán ser aplicados siempre en una misma dirección, de preferencia en el mismo sentido de pendiente de la junta. cualquier tipo de junta; para ello, se recurirá at lavado con agua a presión, sistema de realizar una exhaustiva limpieza de toda materia extraña que se encuentre dentro de perfecta adherencia del material sellante a las caras verticales de la caja, se deberá efectuado hasta la profundidad especificada. Con el fin de garantizar una Las ranuras aserradas deberán inspeccionarse para asegurar que el corte se haya

condiciones especificadas anteriormente para los productos para juntas que se por acción de las llantas de los vehículos y adicionalmente deben cumplir con las adherencia del sello a las caras de la junta, que no exista arrastre del material de sello pavimentos de concreto debe garantizar la hermeticidad del espacio sellado, la eliminación de todos los residuos de corte. El sistema de setado de juntas para El uso de este procedimiento deberá garantizar la limpieza total de la junta y la

con un insertador adecuado. compuesto llenante, se coloca una titilla de respaldo presionándola dentro de la junta sobre el sello por lo menos 24 horas después de colocado. Previamente al vaciado del colocar sobre el material que se pueda introducir en la junta. No se deberá transitar en el cual el pavimento de concreto no deberá ser abierto al tránsito ni se deberá El sello debe ser colocado siete (7) días después de la colocación del concreto, flempo

el espesor del sello y produce economía evitando consumos innecesarios. el fondo de la caja del sello de la base del sello con la tirilla de respaldo, lo cual controla de la junta, y en ningún caso debe haber adherencia en tres puntos, por lo cual se aísta sobrantes rebasantes. La superfide del sello debe quedar 3 mm por debajo del borde entre dimensiones ancho/profundidad, vaciándolo sin que quede menisco convexo, ni de componentes orgánicos se deberá cumplir con el factor de forma, como relación silicona se debe cumplir con el factor de forma mínimo de 1/1 y máximo de 2/1 y si es silicona o un material de compuestos orgánicos respectivamente. Al colocar el sello de La profundidad para el clisco insertador será 9 o 15 mm, dependiendo si el material es

## 8.1.4 Recomendaciones para el curado del concreto

modo que este desarrolle el potencial de las propiedades que se esperan de él, humedad contenido en el concreto, tanto en su interior, como en su superficie, de El curado consiste en propiciar y mantener un ambiente de apropiada temperatura y especialmente el referido a su resistencia.

## NÉSTOR CALVO G.

documento Tecnología del Concreto-Tomo 2. espedificada a la compresión o a la flexión, tal como lo anota Asocreto en su período mínimo de siete (7) días o el tiempo necesario para llegar el 70% de la resistencia temperaturas ambientales supriores a los 4°C, el curado húmedo deberá cubrir un hormigión. Para el caso, de concretos elaborados con cementos tipo I, en climas con esperar el desarrollo de cierta resistencia de modo de no afectar la superficie del hormigón. En el caso, que se llegue a utilizar el uso de películas de polietileno, se debe lo anles posible este proceso, tan pronto como el procedimiento de curado no dañe al de resistencia y menor durabilidad en el largo plazo. Por eso, se recomienda comenzar como fisuración por retracción y secado en el hormigón joven, o desarrollo insuficiente que un curado inadecuado o su ausencia puede provocar graves deterioros, tales curado es fundamental en el desarrollo de su estructura. Es importante, fener presente Garantizar un contenido mínimo de humedad en el cancreto durante el periodo de

de fraguado, y que puede incidir significativamente en la generación de microfisuras y nomograma de Menzel, el cual se ilustra, fisuras por la contracción o retracción plástica del concreto, se hace uso del Para determinar la tasa de evaporación del agua en el concreto durante su proceso

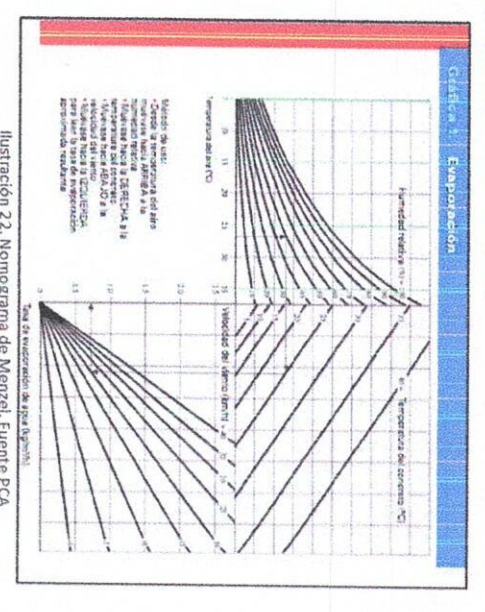


Ilustración 22. Nomograma de Menzel, Fuente PCA

(



Es de suma importancia el conocimiento de los parámetros climáticos al momento de la materialización de la construcción de las losas de concreto. En los eventos, que la tasa de evaporación se encuentre para la fecha de la fundida del concreto mayor a 0.5 kg/m2/h, por las características de los parámetros ambientales imperante, se recomienda realizar algunas de las siguientes acciones o la combinación de varias de ella como:

- Colocar contravientos o cerramientos para reducir la velocidad del viento, aprobado por el ingeniero interventor.
- Instalación de raciadores de agua, para aumentar la humedad relativa en el área de colocación.
- Reducción de la temperatura del concreto, mediante el rociado con agua a los agregados, y/o colocar los agregados a la sombra o en jugares cerrados.



## 9. CONCLUSIONES Y RECOMENDACIONES

1. La estructura de pavimento recomendada, para cada uno de los corredores viales relacionado en el alcance del proyecto, a partir de los análisis de diseños desarrollados en el presente documento y basados en metodologías emplíricas, emplíricas-mecanicistas y de elementos finitos, consiste en una losa de concreto hidráulico de espesor de 200 milimetros, mádulo de rotura a los 28 días de 4.2 Megapascal, con sistema de transferencia de carga constituido por dovelas de diámetro iiso de 1º y acero corrugado de amarre entre losa de ½º entre algunas de sus características esenciales y apoyada directamente en forma uniforme y homogénea sobre un material de subbase granular de espesor 150 milimetros que cumpla los requisitos de calidad establecidos en el Artículo 320-22 de las Especificaciones Generales de Construcción de Carreferas del Instituto Nacional de Vias actualmente vigentes.

2. Teniendo en cuenta, que según el perfil estratigráfico, la superficie actual de los corredores viales referenciados fueron constituídos a través del tiempo por materiales productos de residuos de construcción (RCD), se recomienda el retiro de éstos depósitos de materiales que se encuentran en un espesor promedio de 0.50 metros, y su reemplazo por material de relleno seleccionado con CBR del orden del 10% y características de calidad establecidas en el Articulo 220-22 de la actual Específicaciones Generales de Construcción de Carreteras del Instituto Nacional de Vías.

Así mismo, en la interfase de la capa de material de relleno seleccionado y la subbase granular, se recomienda el suministro e instalación de un geo sintético NT 2400 o similar con una resistencia a la tensión por encima de los 750 Newton según ensayo ASTM D 4632 y que actuara como separación para contrarrestar la migración de los finos del material de relleno hacia la capa de material granular.

3. La calidad y procesos constructivos de los materiales requeridos en la estructura de pavimento deberán cumplir a cabalidad con las especificaciones generales para construcción de carreteras emitidas por el Instituto Nacional de Vías, año 2022, en especial los referentes a los Artículo 220, 320 y 500 respectivamente. Para la validación de la resistencia de diseño propuesta de 4.2 Megapascal, se debe proceder para su comprobación la normatividad exigida en el ensayo INV-E-414-2013-Resistencia a la flexión del concreto usando una viga simplemente apoyada



el proceso de control de calidad por intermedio de la resistencia a la compresión a la relación agua/cemento obtenida en el diseño y se elaboren especimenes importante, que en esta fase, se establezcan las mezclas de pruebas, de acuerdo materiales previamente caracterizados y aprobados por la interventoría. y cargada en los tercios de la luz libre, ensayo este que se debe adelantar con los a los 28 días. No se aceptará en la validación de la resistencia de diseño, asumir los correlación de estas dos resistencias y de acuerdo a la expresión de la ACI facilitar simultáneamente, a fin de posteriormente, establecer los ajustes al parámetro K de cilíndricos y viguetas para obtener sus resistencia a la compresión y flexión tracción rangos de valores empírico de K que en fase de prediseño liene establecido la A.C.

saneo, en estos eventos debe ser aprobado por la firma interventora. con material de acuerdo con lo especificado en el numeral 2. La profundidad de debajo de los 300 mm propuestos hasta que presente material sano y rellenarse puntuales en la subrasante, éstos deben ser removidos hasta una profundidad por 4. En el evento que, en el momenio de la construcción, se lleguen a detectar fallos

hidrología e hidráulica, en donde se determine los caudales de diseño de acuerdo Es importante que el diseño y la construcción de obras de drenaje y/o subdrenaje a las áreas aferentes que liibuten a la zona del proyecto y de la cual se obtendrán en el evento que se requieran, deben ser producto de un júcioso estudio de proceso constructivo en forma accidental se presenten rotura de tubería por viviendas aledañas a los sectores a intervenir y en los eventos que durante el sección de canal revestido, con el establecimiento de sus pendiente transversales viviendas, las calzadas se consideraran con un comportamiento similar a una bordillos, teniendo en cuenta que por la topografía de la zona y ubicación de los tipo y secciones de diseño de cunetas, así como las alturas proyectadas de el reemplazo del área afectada por material seleccionado seco hasta la acción de maquinaria y el agua sature la plataforma de trabajo, será procedente mismo si es del caso debe ejercerse un control sobre las aguas servidas de las mínima de bombeo y demás parámetros que demanden estos lipos de análisis. Así garantizar la estabilidad de la estructura de pavimento a largo plazo profundidad que el interventor y/o supervisor determine. Lo anterior contribuiría a





de una doble parilla de acero, tal como se indica en los apartes del documento. como en losas que no cumplan las modulaciones, se debe proveer la colocación expansión, a fin de reducir la aparición de fisuras en esas zonas. En estos casos, así instalación de manholes y/o rejillas de drenajes, se provea de una junta de 7. Se recomienda que en los sitios donde se llegue a tener previsto zonas de

llevario a cabo en horas de la tarde con el fin de reducir los fenómenos de 8. En el proceso de fundida del concreto se recomienda efectuarse en lo posible contrarrestar esta situación, que puede afectar la durabilidad de concreto por de no tener otra opción, el contratista debe tomar las previsiones del caso para losas por las altas temperaturas que se presentan en horas del mediodía. En el caso contracción del concreto durante su fraguado al igual que reducir el alabeo de las apariciones tempranas de fisuraciones.

III 3.3 para simular la generación de tensiones teóricas en las primeras horas de concreto, que el contratista y/o interventor hagan uso de la herramienta Hiperpav Se sugiere dentro de la planeación de las fechas previstas para la colocación del efectos secundarios en la calidad y durabilidad de la estructura de concreto. fraguado causante en la mayoría de los casos de fisuras tempraneras, con sus





#### **BIBLIOGRAFÍA**

HIGUERA SANDOVAL, Carlos Hernando. Nociones sobre métodos de diseño de estructuras de pavimentos para carreteras. Volumen II. 2011.

HUANG, Yang H. Pavement Analysis and design. Pearson Education. 2008. 792 p.

INSTITUTO NACIONAL DE VÍAS. Especificaciones generales para la construcción de carreteras. 2013.

y altos volúmenes de tránsito.

PLAN DE DESARROLLO MUNICIPIO DE MAICAO 2020-2023

TAPIA GARCÍA, Miguel Ángel. Pavimentos. Universidad Nacional Autónoma de México. Facultad de Ingeniería.

RONDON QUINTANA, Hugo Alexander. Pavimentos: Materiales, construcción y diseño. Ecoe Ediciones. Año 2015.

MANUAL VIALIDAD DE CHILE. Criterios de diseños, Volumen No.3. Edición 2013

LIMITACIONES

El presente informe se basó en las condiciones de campo de las muestras obtenidas a distintas profundidades, mediante la ejecución de los apiques practicados en diferentes sitlos del área, por la firma INDALEN SAS; podrán presentarse condiciones del subsuelo no encontradas en la investigación, sin embargo, se considera que el alcance de los trabajos de campo y laboratorio fueron los adecuados para definir las condiciones del subsuelo en los sitlos del proyecto. Si durante la construcción se encuentran diferencias en las condiciones del subsuelo establecidas como típicas en este informe, se deberán comunicar oportunamente para realizar los ajustes necesarios a las conclusiones y recomendaciones

Nesson D. Galus G

NESTOR A. CALVO GUZMAN
Magister en Ingeniería de Vías Terrestres
Universidad del Cauca
Ingeniero Consultor en Pavimentos

Riohacha, La Guajira

nestoreal/vaguzenan@yahoo

Riohacha, La Guajira.

🕾 +573007583146 🔀 nestorn

nestorcalvogurman@yahoo.com



## NÉSTOR CALVO G.



CONSUMOS DE ESFUERZOS Y EROSION METODOLOGIA PCA

**ANEXOS** 

Secrete de Macca.    Actividad   Capas   Una Capas	Consumo Estimato (N): 121.468	Consumo Est				
In the part of the	euderch: 8.1756	Consento En				The second second
In was a Date State of State o			i	les as	0.0	Factor de Transatón s Agregados (AGG
In State of March  Capes: Und Capes  Capes: Und Capes  Dates Ambémaies				Statistic		
Mason - Copes	16	% Transcip para Alebe		3	0	Audio se Berna III
In Capas   Capas   Unit Capas   Capas	5.500E-06 Por	Doeldoede Ferraco (st			15	100104
Service de Placeto  Service de Diservice PCA  Service PCA	20 00 -	Distancial Temperaturas (d				Coefficients do variado
porros do Diseño PCA		Datos Ambientales	•	Mea	C	Módulo de Robus (5)
porros do Diseño PCA  foram  Total  T					0.15	Relación de Polición (u)
and PCA			•	Case II	2.4	Dentidad (b.)
solitos do Díseño PCA			•	stelle	27405	lo sulo de Elassoidad (E)
eño PCA				1	1 115	Andro Losa (fi
eño PCA					9.9	Langeuclass
eño PCA	ı	Capas : Una Capa			1 15	Espesar Lasa 3:
eño PCA			▼ ×Comp	Mach	56.65	STATES A PEQUASSIBLE
COPESS: Corredor Vales Manicipio de Valcan	AASHTO	Parametros de Diseño .		erros do Dis	Parámo	
		Eggodonyana etsat Americaector increasing	action temper ( cooperation	cipio de Maican	Late 5-18tick	BORDSO Corredor V

Social States   Consent Fundament No.   1.545   Consent Fundam		% Carry ones at Bords (5	Factor de Trabación de Agregados (AGG) : 0 (Alba -	© Con Peestores	Ancho de Elema (D0) (0 m	Coeficiente se Variatión JOVI (%) (15	Méculo de Rotura (Sc) (4-2	Rejacion de Prisson (81) (0.15	Densidad ja 17 2.4 Thomas	Pridulo de Elastoldad (E1) (27905	Andrease Miles on -	Toogacotosati de la -	Escescrioss (td) (18 cm -	Resistancia ki dal Apojo   55.65   Johann	TRÁNSITO Parámetros de Diseño PCA	Corredor Visies Municipio de Maccao
Pariametros de Diserio AAS  Copas: Una Capa  Chasa: Una Capa  Datos Ambientales  Differencia fermicales  Differencia fermicales  Differencia fermicales  Differencia fermicales  Consenso Fermicales  Consenso Fermicales			•		11				10							SCOO
	Comsent Esflerzo	Consuma Erosión			N. Tránsko para Alades - 16	Diference Temperaturas (81) XX  Coeficiente Termico (alle) 5.	Daros Ambientales								Parámetros de Diseño AAS	

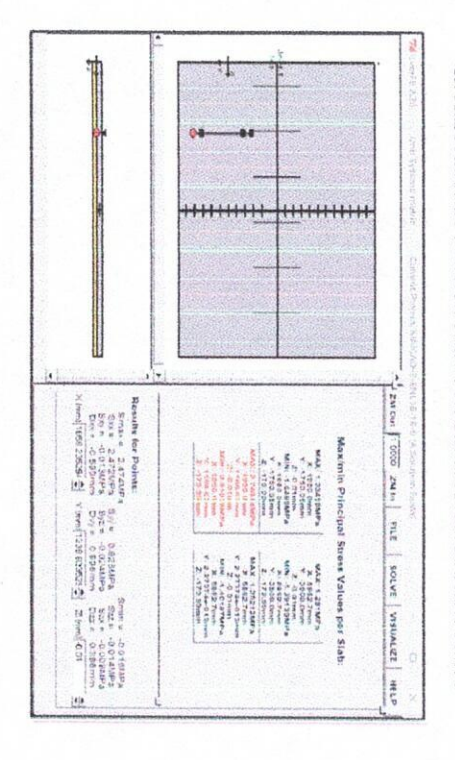
😭 +57 30075R3146 🔀 nestorcalvoglizmun@yahob.com

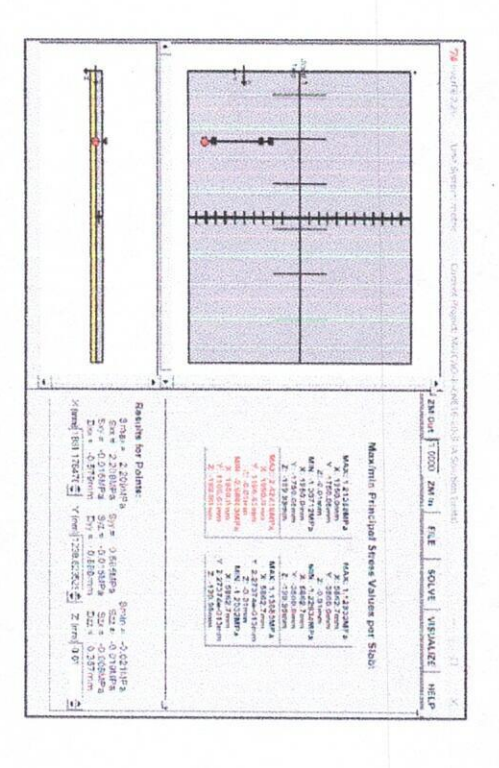
🔁 +57 3007583146 🔀 nestorcalvoguzman@yahdo.com



#### NÉSTOR CALVO G

# ESFUERZOS MAXIMO POSICION CRITICA GRADIENTE DE TEMPERATURA POSITIVO







#### **NÉSTOR CALVO** 0

# ESFUERZOS MAXIMO POSICION CRITICA GRADIENTE DE TEMPERATURA NEGATIVO

